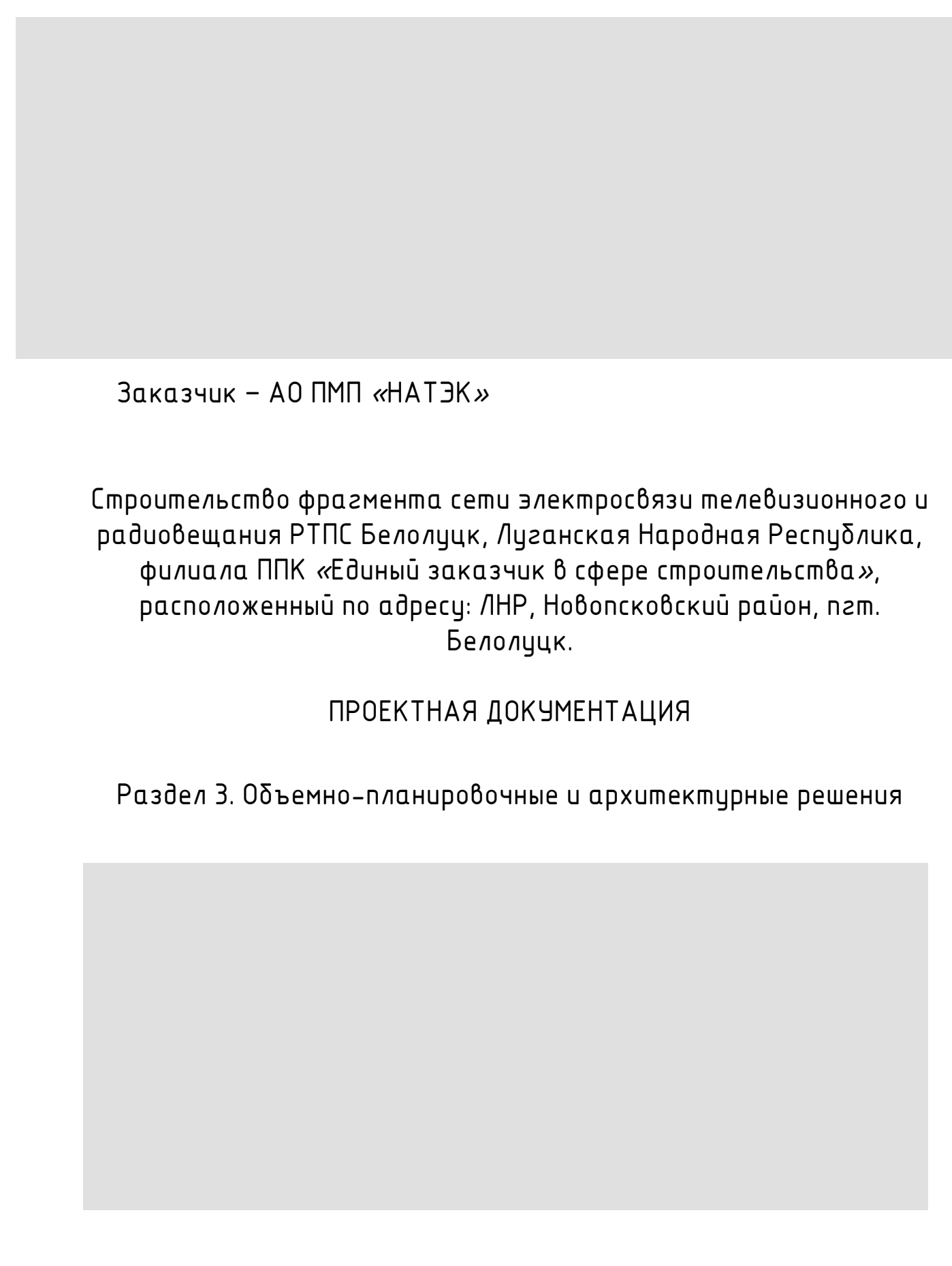
Заказчик - АО ПМП «НАТЭК»
Строительство фрагмента сети электросвязи телевизионного радиовещания РТПС Белолуцк, Луганская Народная Республико
ПРОЕКТНАЯ ДОКУМЕНТАЦИЯ Раздел 3. Объемно-планировочные и архитектурные решения

Заказчик – АО ПМП «НАТЭК»			
Строительство фрагмента сети электросвязи телевизионного и радиовещания РТПС Белолуцк, Луганская Народная Республика ПРОЕКТНАЯ ДОКУМЕНТАЦИЯ			
Раздел 3. Объемно-планировочные и архитектурные решения			

ı



Í	
ı .	
Щ	

Содержание раздела		
ביים פונים		
3 5 5 5 5 5 5 5 5 5 5 5 5 5 5 5 5 5 5 5		
20.	<u></u>	

Подп. и дата

Инв. № подл.

Содержание
а) Описание и обоснование внешнего и внутреннего вида объекта капитального строительства, его пространственной, планировочной и функциональной организации
б) Обоснование принятых объемно-пространственных и архитектурно- художественных решений, в том числе в части соблюдения предельных параметров разрешенного строительства объекта капитального строительства
в) Обоснование принятых архитектурных решений в части обеспечения соответствия зданий, строений и сооружений установленным требованиям энергетической эффективности (за исключением зданий, строений, сооружений, на которые требования энергетической эффективности не распространяются)
г) Перечень мероприятий по обеспечению соблюдения установленных требований энергетической эффективности к архитектурным решениям, влияющим на энергетическую эффективность зданий, строений и сооружений (за исключением зданий, строений, сооружений, на которые требования энергетической эффективности не распространяются)
д) Описание и обоснование использованных композиционных приемов при оформлении фасадов и интерьеров объекта капитального строительства 3
е) Описание решений по отделке помещений основного, вспомогательного, обслуживающего и технического назначения4
ж) Описание архитектурных решений, обеспечивающих естественное освещение помещений с постоянным пребыванием людей
з) Описание архитектурно-строительных мероприятий, обеспечивающих защиту помещений от шума, вибрации и другого воздействия
и) Теплотехнический расчет ограждающих конструкций5

Подп. и дата

Инв. № подл.

Настоящая работа "Строительство фрагмента сети электросвязи телевизионного и радиовещания РТПС Белолуцк, Луганская Народная Республика, филиала ППК "Единый заказчик в сфере строительства", расположенный по адресу: Российская Федерация, Луганская Народная Республика, Новопсковский район, пгт. Белолуцк" выполнена на основании: – технического задания на проектирование;

Проектируемое здание обладают следующими идентификационными признаками:

- проектируемое сооружение не относится к опасным производственным объектам, согласно приложению № 1 Федерального закона № 116-ФЗ от 21.07.1997 "О промышленной безопасности опасных производственных объектов";
- пожарная и взрывопожарная опасность проектируемое сооружение не является пожароопасным и взрывопожароопасным;
- наличие помещении с постоянным пребыванием людей проектируемый объект относится к объектам с постоянным присутствием персонала;
  - уровень ответственности проектируемого сооружения нормальный.
- δ) Обоснование принятых объемно-пространственных и архитектурно-художественных решений, в том числе в части соблюдения предельных параметров разрешенного строительства объекта капитального строительства.

Объемно-планировочные и архитектурно-художественные решения зданий выполнены с учетом требований действующих нормативных документов, технологии, сейсмичности района строительства, рельефа местности и общеплощадочной унификации и согласованы с заказчиком.

#### Технико-экономические показатели объекта:

Год постройки— 1984 г.
Общая площадь — 330 м2
Площадь первого этажа — 200 м2
Площадь подвала — 130 м2.
Строительный объем — 1500 м3
Высота первого этажа— 3,9 м.

Высота подвала – 3.7 м.

Число этажей – 1.

Высота здания – 6.84 м

На первом этаже размещены: аппаратная, аппаратная, кабина управления, бытовка, бытовка, санузел.

в) Обоснование принятых архитектурных решений в части обеспечения соответствия зданий, строений и сооружений установленным требованиям энергетической эффективности (за исключением зданий, строений, сооружений, на которые требования энергетической эффективности не распространяются).

Принятые архитектурные решения способствуют обеспечению нормируемых значений удельного расхода тепловой энергии на отопление зданий. Ограждающие конструкции запроектированы с применением материалов и изделий, апробированных на практике и выпускаемых по стандартам.

мероприятий z) обеспечению соблюдения Перечень ΠO установленных требований энергетической эффективности к архитектирным решениям, влияющим энергетическию ВΗ эффективность зданий, строений и сооружений (за исключением сооружений, строений, которые требования нα энергетической эффективности не распространяются).

Требования по обеспечению требования энергетической эффективности к архитектурным решениям, влияющим на энергетическую эффективность зданий, строений и сооружений не разрабатывались.

д) Описание и обоснование использованных композиционных приемов при оформлении фасадов и интерьеров объекта капитального строительства.

Цветовое решение фасада подчеркивает единство объёмнопространственного сочетания сооружения. Внешний облик отвечает современным стилевым тенденциям, имеет индивидуальность и законченный архитектурный образ. Композиционными приемами достигается органичное сочетание функциональности и пользы с архитектурным стилем зданий. В

Ззац. инв. №

Подп. и дата

ıβ. № подл.

аспекте строительных материалов и технологий в основу выбраны выразительный дизайн и долговечный безупречный внешний вид.

Отделка фасадов (техническое здание) – стены окрашены защитной краской "Caparol AcrylFassadenfarbe".

Цоколь технического здания окрашивается краской "Caparol".

е) Описание решений по отделке помещений основного, вспомогательного, обслуживающего и технического назначения.

Внутренняя отделка принята в соответствии с требованиями санитарно-гигиенических, эстетических и противопожарных норм в зависимости от назначения помещений.

#### Техническое здание:

Стены: нанесение улучшенной окраски водно-дисперсионной акрилатной краски, шпаклевки гипсовая, стеклохолста, шткатуреки гипсовая, грунтовки воднодисперсионная, обои виниловые;

Перегородки: нанесение улучшенной окраски водно-дисперсионной акрилатной краски, шпаклевки гипсовая, стеклохолста, шткатуреки гипсовая, грунтовки воднодисперсионная, обои виниловые;

Потолки: устройство подвесных потолков "Армстронг"; побелка акриловой краской итерьерной Лакра + колер PARADE, грунтовка воднодисперсионная CERESIT СТ17, шпаклевка гипсовая Habez-Старт.

Полы: в помещениях цокольного этажа и части помещений первого этажа (пом. 01-07, 106, 107, 110) принято покрытие из керамической плитки. Остальные помещения первого этажа покрываются линолеумом (пом. 105, 109).

ж) Описание архитектурных решений, обеспечивающих естественное освещение помещений с постоянным пребыванием людей

Описание архитектурных решений, обеспечивающих естественное освещение помещениям не предусмотрено.

з) Описание архитектурно-строительных мероприятий, обеспечивающих защиту помещений от шума, вибрации и другого воздействия.

Инв. № подл. Подп. и дата Взаи. инв.

Настоящий раздел предусматривает мероприятия по снижению шума в помещениях технического здания.

Звукоизоляция помещений обеспечивается соответствующими конструкциями ограждений, установкой дверей со сплошным заполнением дверного полотна и упругими прокладками по контуру полотна.

#### и) Теплотехнический расчет ограждающих конструкций

#### 1. Ведомость ссылочных документов

Оδозначение	Наименование документов	Примечание
СП 50.13330.2024	2024 Тепловая защита зданий	
СП 131.13330.2020	Строительная климатология	
СП 23-101-2024	Проектирование тепловой защиты зданий	
ГОСТ 30494-2011	Здания жилые и общественные. Параметры микроклимата в помещениях	

#### 2. Исходные данные

Характеристика	Значение	Примечание
Месторасположение	ЛНР, пгт. Белолуцк	
Тип здания	Административно-бытовое	
Минимальное значение		
оптимальной		ГОСТ
температуры	20	30494.2011
внутреннего воздуха		Ταδл.3
tβ, °C		
Допустимая		
относительная	60	гост
влажность		30494.2011
внутреннего	00	Ταδη.3
воздуха воздуха, %		L (1/1.)
Средняя температура		
наиболее холодной		ГОСТ
пятидневки с	-23	131.13330.2020
обеспеченностью 0,92,		Ταδ <i>η</i> .3.1
°C		

읟

Продолжительность периода со средней суточной температурой воздуха ≤8°С, сут	173	ΓΟCΤ 131.13330.2020 Ταδ <i>π</i> .3.1
Средняя температура периода со средней суточной температурой воздуха ≤8°С, °С	0,1	ΓΟCΤ 131.13330.2020 Ταδ <i>π</i> .3.1

#### 3. Расчет

Величина ГСОП (градусо-сутки отопительного периода) определяется по формуле 5.2 СП 50.13330.2024:

$$\Gamma \text{CO\Pi} = (t_{\text{B}} - t_{\text{on}}) \cdot z_{\text{on}},$$
  
 $\Gamma \text{CO\Pi} = (20 - 0.1) \cdot 173 = 3442.7$ 

Требуемое сопротивление теплопередаче RRотр ограждающих конструкций определяется по таблице 3 СП 50.13330.2024. При значениях ГСОП, отличающихся от табличных, значения  $R_0^{\text{mp}}$  определяется по формуле:

$$RR_{\circ}^{\text{mp}} = a \cdot \Gamma CO\Pi + b$$
,

где a, b — коэффициенты, принимаемые по таблице 3 СП 50.13330.2024 в зависимости от типа конструкции и категории здания; принимаются значения a = 0.003, b = 1.2.

$$R_0^{mp}$$
 = 0,0003 · 3442.7 + 1.2 = 2.233 M2·°C/Bm

Согласно таблице 1 СП 50.13330.2024 при температуре внутреннего воздуха  $t_{\rm B}$  = 20°C и относительной влажности воздуха  $\varphi_{\rm B}$  = 60% влажностный режим помещений устанавливается как нормальный.

Согласно карте зон влажности, приведенной в приложении А СП 50.13330.2024, населенный пункт Белолуцк относится к 3 (сухой) зоне влажности.

В соответствии с та $\delta$ лице $\bar{u}$  2 СП 50.13330.2024 теплотехнические

характеристики материалов ограждающих конструкций принимаются как для условий эксплуатации А.

#### 3.1 Расчет наружной стены толщиной 510 мм

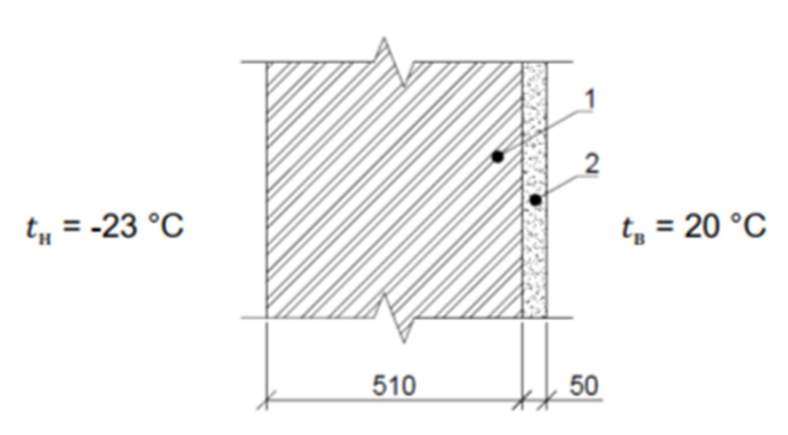


Рисунок 1. Схема конструкции наружной стены толщиной 510 мм

Коэффициенты теплопроводности материалов ограждающей конструкции стены (табл. 3) определяются по Приложению М СП 50.13330.2024.

№ слоя	Материал	Толщина <i>δ</i> і, м	Коэффициент теплопроводности $\lambda$ , Bm/(м $\cdot$ °C)
1.	Силикатный кирпич на цп. растворе	0,510	0,76
2.	Цементно-песчаный раствор	0,05	0,76

Фактическое сопротивление теплопередачи определяется по формуле:  $R_0^{\rm ycn} = \frac{1}{\alpha_{\rm B}} + \sum \frac{\delta_i}{\lambda_i} + \frac{1}{\alpha_{\rm H}}$ 

$$R_0^{\text{усл}} = \frac{1}{\alpha_{\text{B}}} + \sum_{i} \frac{\delta_i}{\lambda_i} + \frac{1}{\alpha_{\text{H}}}$$

где  $\alpha_{_{\mathrm{B}}}$  = 8,7 - коэффициент теплоотдачи внутренней поверхности ограждающей конструкции, Вт/м2·°С; табл.4 СП 50.13330.2024;  $\alpha_{\text{u}}$ = 23 – коэффициент теплоотдачи наружной поверхности ограждающей конструкции, Вт/м2·°С; табл.6 СП 50.13330.2024

$$R_0 = \frac{1}{8.7} + \frac{0.05}{0.76} + \frac{0.51}{0.76} + \frac{1}{23} = 0.920 \text{ m}^2 * \text{°C/BT}$$

Приведенное сопротивление теплопередаче  $R_0^{\text{np}}$ , (м2-°С/Вт) определим по формиле 11 СП 23-101-2004:

$$R_0^{\rm np} = R_0^{\rm ycn} * r,$$

где r – коэффициент теплотехнической однородности ограждающей конструкции, учитывающий влияние стыков, откосов проемов, обрамляющих ребер и других теплопроводных включений, принимаемый равным 0.92

_	
	PIID 0.02 0.02 2.024 2.024B
	$R_0^{\text{np}} = 0.92 * 0.92 = 0.824 \text{ m}^2 * {}^{\circ}\text{C/BT}$
	Вывод: Фактическое сопротивление теплопередаче ограждающей
	конструкции меньше нормируемого значения (0.824 < 2.233 м2·°C/Вт).
	Следовательно наружная стена здания толщиной 510 мм не соответствует
	требованиям по теплозащите.
$\rfloor$	
┫	

Взаи. инв. №

Подп. и дата

Инв. № подл.

## ТЕПЛОТЕХНИЧЕСКИЙ РАСЧЁТ

СП 50.13330.2012 «Тепловая защита зданий»

Белолуцк

#### Вид конструкции: Стена - Многослойная

**Территория:** Российская Федерация, Луганская Народная Республика, м.о. Новопсковский, пгт. Белолуцк

$\mathbf{t}_{\mathrm{ext}}$ Расчетная температура наружного воздуха: (обеспеченностью 0,92, СП 131.13330.2020 т.3.1)	-22 °C
$\mathbf{t_{ht}}$ Расчетная средняя температура отопительного периода: (со среднесуточной $\mathbf{t} \leq 8$ °C, СП 131.13330.2020 т.3.1)	-1.6 °C
${f z}_{ht}$ Продолжительность отопительного периода:	180 сут
Зона влажности:	сухая

#### Назначение здания и помещения

Здание: Техническое с сухим и нормальным режимами,

Помещение: Категория 1а

К категории 1a относятся работы с интенсивностью энерготрат до 120 ккал/ч (до 139 Bm), производимые сидя и сопровождающиеся незначительным физическим напряжением.

<b>Коэффициент а:</b> (СП 50.13330.2012, т.3)	0.0002
Коэффициент b: (СП 50.13330.2012, т.3)	1
α <sub>int</sub> - Коэффициент теплоотдачи внутренней поверхности: (по СП 50.13330.2012, т.4)	8.7
Нормируемый температурный перепад между температурой внутреннего воздуха и температурой внутренней поверхности ограждающей конструкции: (по СП 50.13330.2012, т.5)	7 °C
α <sub>ехt</sub> - Коэффициент теплоотдачи наружной поверхности: (по СП 50.13330.2012, т.6)	12
t <sub>int</sub> - Температура пребывания:	22 °C
ф - Относительная влажность воздуха:	не более 59

(по ГОСТ 30494-2011, СП 131.13330.2020 т.3.1)	%
Влажностный режим помещения: (СП 50.13330.2012 т.1)	нормальный
Условия эксплуатации ограждающих конструкций: (СП 50.13330.2012 т.2)	A
Коэффициент однородности конструкции r: (по ГОСТ Р 54851-2011)	0.8
Коэффициент зависимости положения ограждающей конструкции n:	1

#### Структура конструкции

№	Слой	Толщина, мм	Примечание
1	штукатурный слой Сложный (песок, известь, цемент) раствор	15	$\lambda = 0.7 \; Bm/(M \; ^{\circ}C)$ $\mu = 0.098 \; $ мг / $M \cdot $ Ч $\cdot $ П $a$
2	основание Кладка полнотелого силикатного кирпича 1800 кг/м³ на ЦПР	510	λ = 0.9 Bm/(м °C) μ = 0.11 мг / м·ч·Па
3	теплоизоляционный слой Технофас Экстра	100	λ = 0.037  Bm/(M °C) μ = 0.55  Me/M·4·Πa
4	облицовка Штукатурка на полимерной основе, F100	10	$\lambda = 0.7$ Вт/(м °С) $\mu = 0.02$ мг / м·ч·Па

Примечание: слои конструкции, расположенные между воздушной прослойкой, вентилируемой наружным воздухом, и наружной поверхностью ограждающей конструкции, не учитываются в теплотехническом расчёте.

Градусо-сутки отопительного периода:

 $(C\Pi 50.13330.2012 \ \phi.5.2)$ 

(C∏ 50.13330.2012)

 $R_{norm0} = (a \cdot \Gamma CO\Pi + b) \cdot n = (0.0002 \cdot 4248 + 1) \cdot 1 = 1.85 \text{m}_2 \cdot {}^{\circ} CB \tau R0 \text{norm} = (a \cdot \Gamma CO\Pi + b) \cdot n = (0.0002 \cdot 4248 + 1) \cdot 1 = 1.85 \text{m}_2 \cdot {}^{\circ} CB \tau$ 

#### Расчёт термических сопротивлений

Сложный (песок, известь, цемент) раствор, однородный слой, б=15 мм, λ=0.7 Вт/(м °С)

Термическое сопротивление:

$$R_1 = \delta \lambda = 15 \cdot 10^{-3} \cdot 0.7 = 0.021 \text{m}_2 \cdot {}^{\circ}\text{CBtR1} = \delta \lambda = 15 \cdot 10^{-3} \cdot 0.7 = 0.021 \text{m}_2 \cdot {}^{\circ}\text{CBtR1}$$

Кладка полнотелого силикатного кирпича 1800 кг/м³ на ЦПР, кладка,  $\delta$ =510 мм,  $\lambda$ =0.9 Вт/(м °C), коэффициент теплопроводности шва  $\lambda$ k=0.76 Вт/(м °C), длина блока a=250 мм, высота блока b=65 мм, толщина швов c=12 мм , армирование швов, коэффициент теплопроводности арматуры  $\lambda_{\rm cs}$ =58 Вт/(м °C), средняя площадь сечения связей на 1 погонный метр шва,  $S_{\rm cs}$  = 82.5 мм², включающая только сечения, перпендикулярные плоскости стены.

Площадь поверхности, занимаемая блоками:

$$F_{62} = a \cdot 10 - 3 \cdot b \cdot 10 - 3 = 250 \cdot 10 - 3 \cdot 65 \cdot 10 - 3 = 0.0163 \text{ m}_2 \text{F}_{62} = a \cdot 10 - 3 \cdot b \cdot 10 - 3 = 250 \cdot 10 - 3 \cdot 65 \cdot 10 - 3 = 0.0163 \text{ m}_2$$

Площадь поверхности, занимаемая швами:

$$F_{p2} = c \cdot 10 - 3 \cdot (a \cdot 10 - 3 + b \cdot 10 - 3) = 12 \cdot 10 - 3 \cdot (250 \cdot 10 - 3 + 65 \cdot 10 - 3) = 0.0038 \text{m}_2 \text{Fp2} = c \cdot 10 - 3 \cdot (a \cdot 10 - 3 + b \cdot 10 - 3) = 12 \cdot 10 - 3 \cdot (250 \cdot 10 - 3 + 65 \cdot 10 - 3) = 0.0038 \text{m}_2$$

Эквивалентный коэффициент теплопроводности шва, с учётом армирования:

$$\lambda k_{\text{экв}} = \lambda_{\text{CB}} \cdot S_{\text{CPCB}} + \lambda k \cdot (c - S_{\text{CPCB}}) c \lambda k_{\text{ЭКВ}} = \lambda_{\text{CB}} \cdot S_{\text{CBCP}} + \lambda k \cdot (c - S_{\text{CPCB}}) c \lambda k_{\text{ЭКВ}} = \lambda_{\text{CB}} \cdot S_{\text{CPCB}} + \lambda k \cdot (c - S_{\text{CPCB}}) c \lambda k_{\text{ЭКВ}} = \lambda_{\text{CB}} \cdot S_{\text{CBCP}} + \lambda k \cdot (c - S_{\text{CPCB}}) c \lambda k_{\text{ЭКВ}} = \lambda_{\text{CB}} \cdot S_{\text{CBCP}} + \lambda k \cdot (c - S_{\text{CBCP}}) c \lambda k_{\text{ЭКВ}} = \lambda_{\text{CB}} \cdot S_{\text{CBCP}} + \lambda k_{\text{CB}} \cdot (c - S_{\text{CBCP}}) c \lambda k_{\text{ЭКВ}} = \lambda_{\text{CB}} \cdot S_{\text{CBCP}} + \lambda k_{\text{CB}} \cdot (c - S_{\text{CBCP}}) c \lambda k_{\text{PCB}} = \lambda_{\text{CB}} \cdot S_{\text{CBCP}} + \lambda k_{\text{CB}} \cdot (c - S_{\text{CBCP}}) c \lambda k_{\text{PCB}} = \lambda_{\text{CB}} \cdot S_{\text{CBCP}} + \lambda k_{\text{CB}} \cdot (c - S_{\text{CBCP}}) c \lambda k_{\text{PCB}} = \lambda_{\text{CB}} \cdot S_{\text{CBCP}} + \lambda k_{\text{CB}} \cdot (c - S_{\text{CBCP}}) c \lambda k_{\text{PCB}} = \lambda_{\text{CB}} \cdot (c - S_{\text{CBCP}}) c \lambda k_{\text{PCB}} = \lambda_{\text{CB}} \cdot (c - S_{\text{CBCP}}) c \lambda k_{\text{PCB}} = \lambda_{\text{CB}} \cdot (c - S_{\text{CBCP}}) c \lambda k_{\text{PCB}} = \lambda_{\text{CB}} \cdot (c - S_{\text{CBCP}}) c \lambda k_{\text{PCB}} = \lambda_{\text{CB}} \cdot (c - S_{\text{CBCP}}) c \lambda k_{\text{PCB}} = \lambda_{\text{CB}} \cdot (c - S_{\text{CBCP}}) c \lambda k_{\text{PCB}} = \lambda_{\text{CB}} \cdot (c - S_{\text{CBCP}}) c \lambda k_{\text{PCB}} = \lambda_{\text{CB}} \cdot (c - S_{\text{CBCP}}) c \lambda k_{\text{PCB}} = \lambda_{\text{CB}} \cdot (c - S_{\text{CBCP}}) c \lambda k_{\text{PCB}} = \lambda_{\text{CB}} \cdot (c - S_{\text{CBCP}}) c \lambda k_{\text{PCB}} = \lambda_{\text{CB}} \cdot (c - S_{\text{CBCP}}) c \lambda k_{\text{PCB}} = \lambda_{\text{CB}} \cdot (c - S_{\text{CBCP}}) c \lambda k_{\text{PCB}} = \lambda_{\text{CB}} \cdot (c - S_{\text{CBCP}}) c \lambda k_{\text{PCB}} = \lambda_{\text{CB}} \cdot (c - S_{\text{CBCP}}) c \lambda k_{\text{PCB}} = \lambda_{\text{CB}} \cdot (c - S_{\text{CBCP}}) c \lambda k_{\text{PCB}} = \lambda_{\text{CB}} \cdot (c - S_{\text{CBCP}}) c \lambda k_{\text{PCB}} = \lambda_{\text{CB}} \cdot (c - S_{\text{CBCP}}) c \lambda k_{\text{PCB}} = \lambda_{\text{CB}} \cdot (c - S_{\text{CBCP}}) c \lambda k_{\text{PCB}} = \lambda_{\text{CB}} \cdot (c - S_{\text{CBCP}}) c \lambda k_{\text{PCB}} = \lambda_{\text{CB}} \cdot (c - S_{\text{CBCP}}) c \lambda k_{\text{PCB}} = \lambda_{\text{CB}} \cdot (c - S_{\text{CBCP}}) c \lambda k_{\text{PCB}} = \lambda_{\text{CB}} \cdot (c - S_{\text{CBCP}}) c \lambda k_{\text{PCB}} = \lambda_{\text{CB}} \cdot (c - S_{\text{CBCP}}) c \lambda k_{\text{PCB}} = \lambda_{\text{CB}} \cdot (c - S_{\text{CBCP}}) c \lambda k_{\text{PCB}} = \lambda_{\text{CB}} \cdot (c - S_{\text{CBCP}}) c \lambda k_{\text{PCB}} = \lambda_{\text{CB}} \cdot (c - S_{\text{CBCP}}) c \lambda k_{\text{PCB}} = \lambda_{\text{CB}} \cdot (c - S_{\text{CBCP}}) c \lambda k_{\text{PCB}} = \lambda_{\text{CB}} \cdot (c - S_{\text{CBCP}}) c \lambda k_{\text{PCB}} = \lambda_{$$

$$\lambda k_{\text{ЭКВ}} = 58 \cdot 82.5 \cdot 10 - 6 + 0.76 \cdot (12 \cdot 10 - 3 - 82.5 \cdot 10 - 6) 12 \cdot 10 - 3 = 1.15353 \\ \text{BTM} \cdot ^{\circ}\text{C} \lambda k_{\text{ЭКВ}} = 58 \cdot 82.5 \cdot 10 - 6 + 0.76 \cdot (12 \cdot 10 - 3 - 82.5 \cdot 10 - 6) 12 \cdot 10 - 3 = 1.15353 \\ \text{BTM} \cdot ^{\circ}\text{C} \lambda k_{\text{PKS}} = 58 \cdot 82.5 \cdot 10 - 6 + 0.76 \cdot (12 \cdot 10 - 3 - 82.5 \cdot 10 - 6) 12 \cdot 10 - 3 = 1.15353 \\ \text{BTM} \cdot ^{\circ}\text{C} \lambda k_{\text{PKS}} = 58 \cdot 82.5 \cdot 10 - 6 + 0.76 \cdot (12 \cdot 10 - 3 - 82.5 \cdot 10 - 6) \\ \text{BTM} \cdot ^{\circ}\text{C} \lambda k_{\text{PKS}} = 58 \cdot 82.5 \cdot 10 - 6 + 0.76 \cdot (12 \cdot 10 - 3 - 82.5 \cdot 10 - 6) \\ \text{C} \lambda k_{\text{PKS}} = 58 \cdot 82.5 \cdot 10 - 6 + 0.76 \cdot (12 \cdot 10 - 3 - 82.5 \cdot 10 - 6) \\ \text{C} \lambda k_{\text{PKS}} = 58 \cdot 82.5 \cdot 10 - 6 + 0.76 \cdot (12 \cdot 10 - 3 - 82.5 \cdot 10 - 6) \\ \text{C} \lambda k_{\text{PKS}} = 58 \cdot 82.5 \cdot 10 - 6 + 0.76 \cdot (12 \cdot 10 - 3 - 82.5 \cdot 10 - 6) \\ \text{C} \lambda k_{\text{PKS}} = 58 \cdot 82.5 \cdot 10 - 6 + 0.76 \cdot (12 \cdot 10 - 3 - 82.5 \cdot 10 - 6) \\ \text{C} \lambda k_{\text{PKS}} = 58 \cdot 82.5 \cdot 10 - 6 + 0.76 \cdot (12 \cdot 10 - 3 - 82.5 \cdot 10 - 6) \\ \text{C} \lambda k_{\text{PKS}} = 58 \cdot 82.5 \cdot 10 - 6 + 0.76 \cdot (12 \cdot 10 - 3 - 82.5 \cdot 10 - 6) \\ \text{C} \lambda k_{\text{PKS}} = 58 \cdot 82.5 \cdot 10 - 6 + 0.76 \cdot (12 \cdot 10 - 3 - 82.5 \cdot 10 - 6) \\ \text{C} \lambda k_{\text{PKS}} = 58 \cdot 82.5 \cdot 10 - 6 + 0.76 \cdot (12 \cdot 10 - 3 - 82.5 \cdot 10 - 6) \\ \text{C} \lambda k_{\text{PKS}} = 58 \cdot 82.5 \cdot 10 - 6 + 0.76 \cdot (12 \cdot 10 - 3 - 82.5 \cdot 10 - 6) \\ \text{C} \lambda k_{\text{PKS}} = 58 \cdot 82.5 \cdot 10 - 6 + 0.76 \cdot (12 \cdot 10 - 3 - 82.5 \cdot 10 - 6) \\ \text{C} \lambda k_{\text{PKS}} = 58 \cdot 82.5 \cdot 10 - 6 + 0.76 \cdot (12 \cdot 10 - 3 - 82.5 \cdot 10 - 6) \\ \text{C} \lambda k_{\text{PKS}} = 58 \cdot 10 - 6 + 0.76 \cdot (12 \cdot 10 - 3 - 82.5 \cdot 10 - 6) \\ \text{C} \lambda k_{\text{PKS}} = 58 \cdot 10 - 6 + 0.76 \cdot (12 \cdot 10 - 3 - 82.5 \cdot 10 - 6) \\ \text{C} \lambda k_{\text{PKS}} = 58 \cdot 10 - 6 + 0.76 \cdot (12 \cdot 10 - 3 - 82.5 \cdot 10 - 6) \\ \text{C} \lambda k_{\text{PKS}} = 58 \cdot 10 - 6 + 0.76 \cdot (12 \cdot 10 - 3 - 82.5 \cdot 10 - 6) \\ \text{C} \lambda k_{\text{PKS}} = 58 \cdot 10 - 6 + 0.76 \cdot (12 \cdot 10 - 3 - 82.5 \cdot 10 - 6) \\ \text{C} \lambda k_{\text{PKS}} = 58 \cdot 10 - 6 + 0.76 \cdot (12 \cdot 10 - 3 - 82.5 \cdot 10 - 6) \\ \text{C} \lambda k_{\text{PKS}} = 58 \cdot 10 - 6 + 0.76 \cdot (12 \cdot 10 - 3 - 82.5 \cdot 10 - 6) \\ \text{C} \lambda k_{\text{PKS}} = 58 \cdot 10 - 6 + 0.76 \cdot (12 \cdot 10 - 3 - 82.5 \cdot 10 - 6) \\ \text{C} \lambda k_{\text{PKS}} = 58 \cdot 10 - 6 + 0.76 \cdot (12 \cdot 10 - 3 - 82.5 \cdot 10 -$$

Термическое сопротивление:

$$R2 = F_{p2} + F_{62}F_{p2} \cdot \lambda k_{\text{3KB}} \delta \cdot 10_{-3} + F_{62} \cdot \lambda \delta \cdot 10_{-3} = 0.0038 + 0.0163 \cdot 0.038 \cdot 1.15353510 \cdot 10_{-3} + 0.0163 \cdot 0.9510 \cdot 10_{-3} = 0.53$$

Штукатурка на полимерной основе, F100, однородный слой, δ=10 мм, λ=0.7 Вт/(м °C)

Термическое сопротивление:

$$R_3 = \delta \lambda = 10 \cdot 10 - 30.7 = 0.014 \text{m}_2 \cdot {}^{\circ}\text{CBtR}_3 = \delta \lambda = 10 \cdot 10 - 30.7 = 0.014 \text{m}_2 \cdot {}^{\circ}\text{CBt}_3 = \delta \lambda = 10 \cdot 10 - 30.7 = 0.014 \text{m}_2 \cdot {}^{\circ}\text{CBt}_3 = \delta \lambda = 10 \cdot 10 - 30.7 = 0.014 \text{m}_2 \cdot {}^{\circ}\text{CBt}_3 = \delta \lambda = 10 \cdot 10 - 30.7 = 0.014 \text{m}_2 \cdot {}^{\circ}\text{CBt}_3 = \delta \lambda = 10 \cdot 10 - 30.7 = 0.014 \text{m}_2 \cdot {}^{\circ}\text{CBt}_3 = \delta \lambda = 10 \cdot 10 - 30.7 = 0.014 \text{m}_2 \cdot {}^{\circ}\text{CBt}_3 = \delta \lambda = 10 \cdot 10 - 30.7 = 0.014 \text{m}_2 \cdot {}^{\circ}\text{CBt}_3 = \delta \lambda = 10 \cdot 10 - 30.7 = 0.014 \text{m}_2 \cdot {}^{\circ}\text{CBt}_3 = \delta \lambda = 10 \cdot 10 - 30.7 = 0.014 \text{m}_2 \cdot {}^{\circ}\text{CBt}_3 = \delta \lambda = 10 \cdot 10 - 30.7 = 0.014 \text{m}_2 \cdot {}^{\circ}\text{CBt}_3 = \delta \lambda = 10 \cdot 10 - 30.7 = 0.014 \text{m}_2 \cdot {}^{\circ}\text{CBt}_3 = \delta \lambda = 10 \cdot 10 - 30.7 = 0.014 \text{m}_2 \cdot {}^{\circ}\text{CBt}_3 = \delta \lambda = 10 \cdot 10 - 30.7 = 0.014 \text{m}_2 \cdot {}^{\circ}\text{CBt}_3 = \delta \lambda = 10 \cdot 10 - 30.7 = 0.014 \text{m}_2 \cdot {}^{\circ}\text{CBt}_3 = \delta \lambda = 10 \cdot 10 - 30.7 = 0.014 \text{m}_2 \cdot {}^{\circ}\text{CBt}_3 = \delta \lambda = 10 \cdot 10 - 30.7 = 0.014 \text{m}_2 \cdot {}^{\circ}\text{CBt}_3 = \delta \lambda = 10 \cdot 10 - 30.7 = 0.014 \text{m}_2 \cdot {}^{\circ}\text{CBt}_3 = \delta \lambda = 10 \cdot 10 - 30.7 = 0.014 \text{m}_2 \cdot {}^{\circ}\text{CBt}_3 = \delta \lambda = 10 \cdot 10 - 30.7 = 0.014 \text{m}_2 \cdot {}^{\circ}\text{CBt}_3 = \delta \lambda = 10 \cdot 10 - 30.7 = 0.014 \text{m}_2 \cdot {}^{\circ}\text{CBt}_3 = \delta \lambda = 10 \cdot 10 - 30.7 = 0.014 \text{m}_2 \cdot {}^{\circ}\text{CBt}_3 = \delta \lambda = 10 \cdot 10 - 30.7 = 0.014 \text{m}_2 \cdot {}^{\circ}\text{CBt}_3 = \delta \lambda = 10 \cdot 10 - 30.7 = 0.014 \text{m}_2 \cdot {}^{\circ}\text{CBt}_3 = \delta \lambda = 10 \cdot 10 - 30.7 = 0.014 \text{m}_2 \cdot {}^{\circ}\text{CBt}_3 = \delta \lambda = 10 \cdot 10 - 30.7 = 0.014 \text{m}_2 \cdot {}^{\circ}\text{CBt}_3 = \delta \lambda = 10 \cdot 10 - 30.7 = 0.014 \text{m}_2 \cdot {}^{\circ}\text{CBt}_3 = \delta \lambda = 10 \cdot 10 - 30.7 = 0.014 \text{m}_2 \cdot {}^{\circ}\text{CBt}_3 = \delta \lambda = 10 \cdot 10 - 30.7 = 0.014 \text{m}_2 \cdot {}^{\circ}\text{CBt}_3 = \delta \lambda = 10 \cdot 10 - 30.7 = 0.014 \text{m}_2 \cdot {}^{\circ}\text{CBt}_3 = \delta \lambda = 10 \cdot 10 - 30.7 = 0.014 \text{m}_2 \cdot {}^{\circ}\text{CBt}_3 = \delta \lambda = 10 \cdot 10 - 30.7 = 0.014 \text{m}_2 \cdot {}^{\circ}\text{CBt}_3 = \delta \lambda = 10 \cdot 10 - 30.7 = 0.014 \text{m}_2 \cdot {}^{\circ}\text{CBt}_3 = \delta \lambda = 10 \cdot 10 - 30.7 = 0.014 \text{m}_2 \cdot {}^{\circ}\text{CBt}_3 = \delta \lambda = 10 \cdot 10 - 30.7 = 0.014 \text{m}_2 \cdot {}^{\circ}\text{CBt}_3 = \delta \lambda = 10 \cdot 10 - 30.7 = 0.014 \text{m}_2 \cdot {}^{\circ}\text{CBt}_3 = 0.014 \text{m}_2 \cdot {}^{\circ}\text{CBt}_3 = 0.014 \text{m}_2 \cdot {}^{\circ}\text{CB$$

#### Расчёт термического сопротивления утеплителя

Толщина утеплителя задана вручную:

$$δ_{YTK} = 100 \cdot 10 - 3$$
 M δ YTK =  $100 \cdot 10 - 3$  M

Термическое сопротивление утеплителя  $R_{vrk}$  и приведённое сопротивление конструкции  $R_{no}$ :

$$R_{\text{пр}} = r \cdot \left(1\alpha_{\text{int}} + 1\alpha_{\text{ext}} + \delta_{\text{утк}}\lambda_{\text{ут}} + R_1 + R_2 + R_3\right) = R_{\text{пр}} = r \cdot \left(1\alpha_{\text{int}} + 1\alpha_{\text{ext}} + \delta_{\text{утк}}\lambda_{\text{ут}} + R_1 + R_2 + R_3\right) = \\ = 0.8 \cdot \left(18.7 + 112 + 100 \cdot 10 - 30.037 + 0.021 + 0.538 + 0.014\right) = 2.779 \text{ M2} \cdot {}^{\circ}\text{CB} \\ = 0.8 \cdot \left(18.7 + 112 + 100 \cdot 10 - 30.037 + 0.021 + 0.538 + 0.014\right) = 2.779 \text{ M2} \cdot {}^{\circ}\text{CB} \\ = 0.8 \cdot \left(18.7 + 112 + 100 \cdot 10 - 30.037 + 0.021 + 0.538 + 0.014\right) = 2.779 \text{ M2} \cdot {}^{\circ}\text{CB} \\ = 0.8 \cdot \left(18.7 + 112 + 100 \cdot 10 - 30.037 + 0.021 + 0.538 + 0.014\right) = 2.779 \text{ M2} \cdot {}^{\circ}\text{CB} \\ = 0.8 \cdot \left(18.7 + 112 + 100 \cdot 10 - 30.037 + 0.021 + 0.538 + 0.014\right) = 2.779 \text{ M2} \cdot {}^{\circ}\text{CB} \\ = 0.8 \cdot \left(18.7 + 112 + 100 \cdot 10 - 30.037 + 0.021 + 0.538 + 0.014\right) = 2.779 \text{ M2} \cdot {}^{\circ}\text{CB} \\ = 0.8 \cdot \left(18.7 + 112 + 100 \cdot 10 - 30.037 + 0.021 + 0.538 + 0.014\right) = 2.779 \text{ M2} \cdot {}^{\circ}\text{CB} \\ = 0.8 \cdot \left(18.7 + 112 + 100 \cdot 10 - 30.037 + 0.021 + 0.538 + 0.014\right) = 2.779 \text{ M2} \cdot {}^{\circ}\text{CB} \\ = 0.8 \cdot \left(18.7 + 112 + 100 \cdot 10 - 30.037 + 0.021 + 0.538 + 0.014\right) = 2.779 \text{ M2} \cdot {}^{\circ}\text{CB} \\ = 0.8 \cdot \left(18.7 + 100 \cdot 10 - 30.037 + 0.021 + 0.538 + 0.014\right) = 2.779 \text{ M2} \cdot {}^{\circ}\text{CB} \\ = 0.8 \cdot \left(18.7 + 100 \cdot 10 - 30.037 + 0.021 + 0.538 + 0.014\right) = 2.779 \text{ M2} \cdot {}^{\circ}\text{CB} \\ = 0.8 \cdot \left(18.7 + 100 \cdot 10 - 30.037 + 0.021 + 0.538 + 0.014\right) = 2.779 \text{ M2} \cdot {}^{\circ}\text{CB} \\ = 0.8 \cdot \left(18.7 + 100 \cdot 10 - 30.037 + 0.021 + 0.538 + 0.014\right) = 2.779 \text{ M2} \cdot {}^{\circ}\text{CB}$$

где:  $\lambda_{y\tau}$  = 0.037 Вт/(м °C) - коэффициент теплопередачи утеплителя Условие  $R_0^{norm} \le R_{np}$  выполняется : 1.85  $\le$  2.779.

#### Санитарно-гигиеническое требование

Расчётный перепад между температурой внутреннего воздуха и температурой внутренней поверхности ограждающей конструкции:

# $\Delta t_n = n \cdot t_{int} - t_{ext} R_{y\tau \kappa} \cdot \alpha_{int} = 1 \cdot 22 + 222.779 \cdot 8.7 = 1.82$ °C $\Delta t_n = n \cdot t_{int} - t_{ext} R_{y\tau \kappa} \cdot \alpha_{int} = 1 \cdot 22 + 222.779 \cdot 8.7 = 1.82$ °C

Условие  $\Delta t_{H}$  ≥  $\Delta t_{D}$  выполняется : 7 ≥ 1.82

Температуру внутренней поверхности - Тв, °С, ограждающей конструкции (без теплопроводного включения), следует определять по формуле:

$$T_B = t_{int} - \Delta t_{\Pi} = 22 - 1.82 = 20.18^{\circ} CT_B = t_{int} - \Delta t_{\Pi} = 22 - 1.82 = 20.18^{\circ} C$$

Условие  $T_{\scriptscriptstyle B} \ge t_{\scriptscriptstyle D}$  выполняется : 20.18 ≥ 13.68

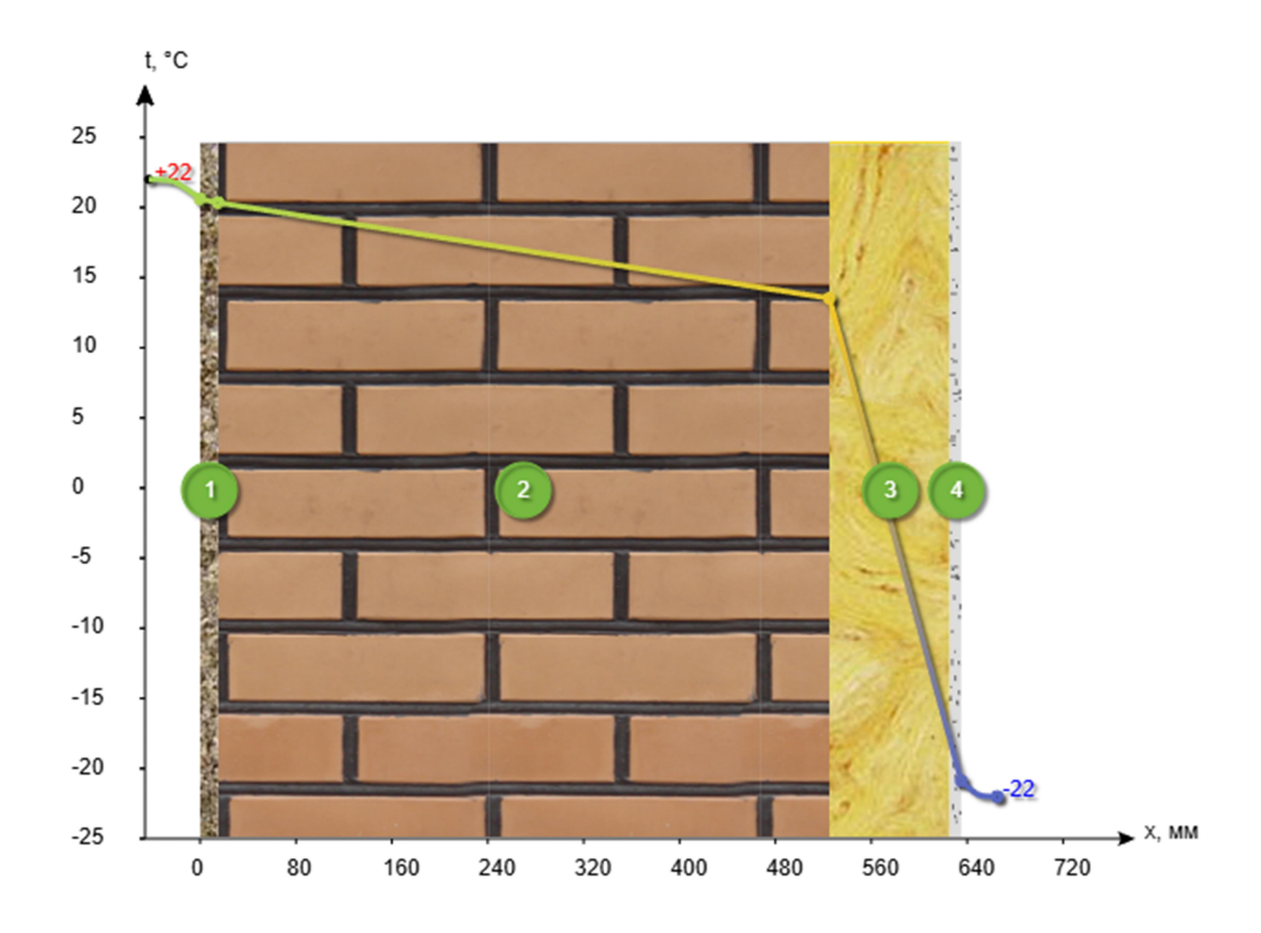
где  $t_p$  - температура точки росы.

$$\begin{split} \gamma(\mathsf{tint},\!\varphi) = & 17.27 \cdot \mathsf{tint} 237.7 + \mathsf{tint} + \log(\varphi \cdot 0.01) = 17.27 \cdot 22237.7 + 22 + \log(59 \cdot 0.01) = 0.94 \\ \gamma(\mathsf{tint},\!\varphi) = & 17.27 \cdot \mathsf{tint} 237.7 + \mathsf{tint} + \log(\varphi \cdot 0.01) = 17.27 \cdot 22237.7 + 22 + \log(59 \cdot 0.01) = 0.94 \\ \mathsf{t}_{\mathsf{p}} = & 237.7 \cdot \gamma(\mathsf{tint},\!\varphi) 17.27 - \gamma(\mathsf{tint},\!\varphi) = 13.68 \\ ^{\circ}\mathsf{C} \mathsf{tp} = & 237.7 \cdot \gamma(\mathsf{tint},\!\varphi) 17.27 - \gamma(\mathsf{tint},\!\varphi) = 13.68 \\ ^{\circ}\mathsf{C} \mathsf{tp} = & 237.7 \cdot \gamma(\mathsf{tint},\!\varphi) 17.27 - \gamma(\mathsf{tint},\!\varphi) = 13.68 \\ ^{\circ}\mathsf{C} \mathsf{tp} = & 237.7 \cdot \gamma(\mathsf{tint},\!\varphi) 17.27 - \gamma(\mathsf{tint},\!\varphi) = 13.68 \\ ^{\circ}\mathsf{C} \mathsf{tp} = & 237.7 \cdot \gamma(\mathsf{tint},\!\varphi) 17.27 - \gamma(\mathsf{tint},\!\varphi) = 13.68 \\ ^{\circ}\mathsf{C} \mathsf{tp} = & 237.7 \cdot \gamma(\mathsf{tint},\!\varphi) 17.27 - \gamma(\mathsf{tint},\!\varphi) = 13.68 \\ ^{\circ}\mathsf{C} \mathsf{tp} = & 237.7 \cdot \gamma(\mathsf{tint},\!\varphi) 17.27 - \gamma(\mathsf{tint},\!\varphi) = 13.68 \\ ^{\circ}\mathsf{C} \mathsf{tp} = & 237.7 \cdot \gamma(\mathsf{tint},\!\varphi) 17.27 - \gamma(\mathsf{tint},\!\varphi) = 13.68 \\ ^{\circ}\mathsf{C} \mathsf{tp} = & 237.7 \cdot \gamma(\mathsf{tint},\!\varphi) 17.27 - \gamma(\mathsf{tint},\!\varphi) = 13.68 \\ ^{\circ}\mathsf{C} \mathsf{tp} = & 237.7 \cdot \gamma(\mathsf{tint},\!\varphi) 17.27 - \gamma(\mathsf{tint},\!\varphi) = 13.68 \\ ^{\circ}\mathsf{C} \mathsf{tp} = & 237.7 \cdot \gamma(\mathsf{tint},\!\varphi) 17.27 - \gamma(\mathsf{tint},\!\varphi) = 13.68 \\ ^{\circ}\mathsf{C} \mathsf{tp} = & 237.7 \cdot \gamma(\mathsf{tint},\!\varphi) = 13.68 \\ ^{\circ}\mathsf{C} \mathsf{tp} = & 237.7 \cdot \gamma(\mathsf{tint},\!\varphi) = 13.68 \\ ^{\circ}\mathsf{C} \mathsf{tp} = & 237.7 \cdot \gamma(\mathsf{tint},\!\varphi) = 13.68 \\ ^{\circ}\mathsf{C} \mathsf{tp} = & 237.7 \cdot \gamma(\mathsf{tint},\!\varphi) = 13.68 \\ ^{\circ}\mathsf{C} \mathsf{tp} = & 237.7 \cdot \gamma(\mathsf{tint},\!\varphi) = 13.68 \\ ^{\circ}\mathsf{C} \mathsf{tp} = & 237.7 \cdot \gamma(\mathsf{tint},\!\varphi) = 13.68 \\ ^{\circ}\mathsf{C} \mathsf{tp} = & 237.7 \cdot \gamma(\mathsf{tint},\!\varphi) = 13.68 \\ ^{\circ}\mathsf{C} \mathsf{tp} = & 237.7 \cdot \gamma(\mathsf{tint},\!\varphi) = 13.68 \\ ^{\circ}\mathsf{C} \mathsf{tp} = & 237.7 \cdot \gamma(\mathsf{tint},\!\varphi) = 13.68 \\ ^{\circ}\mathsf{C} \mathsf{tp} = & 237.7 \cdot \gamma(\mathsf{tint},\!\varphi) = 13.68 \\ ^{\circ}\mathsf{C} \mathsf{tp} = & 237.7 \cdot \gamma(\mathsf{tint},\!\varphi) = 13.68 \\ ^{\circ}\mathsf{C} \mathsf{tp} = & 237.7 \cdot \gamma(\mathsf{tint},\!\varphi) = 13.68 \\ ^{\circ}\mathsf{C} \mathsf{tp} = & 237.7 \cdot \gamma(\mathsf{tint},\!\varphi) = 13.68 \\ ^{\circ}\mathsf{C} \mathsf{tp} = & 237.7 \cdot \gamma(\mathsf{tint},\!\varphi) = 13.68 \\ ^{\circ}\mathsf{C} \mathsf{tp} = & 237.7 \cdot \gamma(\mathsf{tint},\!\varphi) = 13.68 \\ ^{\circ}\mathsf{C} \mathsf{tp} = & 237.7 \cdot \gamma(\mathsf{tint},\!\varphi) = 13.68 \\ ^{\circ}\mathsf{C} \mathsf{cp} = & 237.7 \cdot \gamma(\mathsf{tint},\!\varphi) = 13.68 \\ ^{\circ}\mathsf{C} \mathsf{cp} = & 237.7 \cdot \gamma(\mathsf{tint},\!\varphi) = 13.68 \\ ^{\circ}\mathsf{C} \mathsf{cp} = & 237.7 \cdot \gamma(\mathsf{tint},\!\varphi) = 13.68 \\ ^{\circ}\mathsf{C} \mathsf{cp} = & 237.7 \cdot \gamma(\mathsf{tint},\!\varphi) = 13.68 \\$$

# График распределения температур в сечении конструкции

Температуру  $t_x$ , °C, ограждающей конструкции в плоскости, соответствующей границе слоя x, следует определять по формуле:

где: x - номер слоя, x=0 - это внутреннее пространство,  $R_i$  - сопротивление теплопередачи слоя с номером i, в направлении от внутреннего пространства.



Точка 1:  $t_{int}$  = 22°C - температура внутри помещения

Точка 2: t<sub>x</sub>(0) = 20.61°C - температура на внутренней границе слоя №1 - *"Сложный (песок, известь, цемент) раствор"* 

$$R_x(0) = 1\alpha_{int} + \sum_{i=10}(R_i) = 18.7 = 0.11$$
 M2·°CBTRx(0)=1 $\alpha_{int} + \sum_{i=10}(R_i) = 18.7 = 0.11$  M2·°CBT

 $\begin{array}{l} t_{x}(0) = t_{int} - (t_{int} - t_{ext}) \cdot R_{x}(0) \cdot r R_{np} = 22 - (22 + 22) \cdot 0.11 \cdot 0.82.779 = 20.61 ^{\circ} Ct_{x}(0) = t_{int} - (t_{int} - t_{ext}) \cdot R_{x}(0) \cdot r R_{np} = 22 - (22 + 22) \cdot 0.11 \cdot 0.82.779 = 20.61 ^{\circ} C \\ t_{x}(0) \cdot r R_{np} = 22 - (22 + 22) \cdot 0.11 \cdot 0.82.779 = 20.61 ^{\circ} C \\ t_{x}(0) \cdot r R_{np} = 22 - (22 + 22) \cdot 0.11 \cdot 0.82.779 = 20.61 ^{\circ} C \\ t_{x}(0) \cdot r R_{np} = 22 - (22 + 22) \cdot 0.11 \cdot 0.82.779 = 20.61 ^{\circ} C \\ t_{x}(0) \cdot r R_{np} = 22 - (22 + 22) \cdot 0.11 \cdot 0.82.779 = 20.61 ^{\circ} C \\ t_{x}(0) \cdot r R_{np} = 22 - (22 + 22) \cdot 0.11 \cdot 0.82.779 = 20.61 ^{\circ} C \\ t_{x}(0) \cdot r R_{np} = 22 - (22 + 22) \cdot 0.11 \cdot 0.82.779 = 20.61 ^{\circ} C \\ t_{x}(0) \cdot r R_{np} = 22 - (22 + 22) \cdot 0.11 \cdot 0.82.779 = 20.61 ^{\circ} C \\ t_{x}(0) \cdot r R_{np} = 22 - (22 + 22) \cdot 0.11 \cdot 0.82.779 = 20.61 ^{\circ} C \\ t_{x}(0) \cdot r R_{np} = 22 - (22 + 22) \cdot 0.11 \cdot 0.82.779 = 20.61 ^{\circ} C \\ t_{x}(0) \cdot r R_{np} = 22 - (22 + 22) \cdot 0.11 \cdot 0.82.779 = 20.61 ^{\circ} C \\ t_{x}(0) \cdot r R_{np} = 22 - (22 + 22) \cdot 0.11 \cdot 0.82.779 = 20.61 ^{\circ} C \\ t_{x}(0) \cdot r R_{np} = 22 - (22 + 22) \cdot 0.11 \cdot 0.82.779 = 20.61 ^{\circ} C \\ t_{x}(0) \cdot r R_{np} = 22 - (22 + 22) \cdot 0.11 \cdot 0.82.779 = 20.61 ^{\circ} C \\ t_{x}(0) \cdot r R_{np} = 22 - (22 + 22) \cdot 0.11 \cdot 0.82 = 20.61 ^{\circ} C \\ t_{x}(0) \cdot r R_{np} = 22 - (22 + 22) \cdot 0.11 \cdot 0.82 = 20.61 ^{\circ} C \\ t_{x}(0) \cdot r R_{np} = 22 - (22 + 22) \cdot 0.11 \cdot 0.82 = 20.61 ^{\circ} C \\ t_{x}(0) \cdot r R_{np} = 22 - (22 + 22) \cdot 0.11 \cdot 0.82 = 20.61 ^{\circ} C \\ t_{x}(0) \cdot r R_{np} = 22 - (22 + 22) \cdot 0.11 \cdot 0.82 = 20.61 ^{\circ} C \\ t_{x}(0) \cdot r R_{np} = 22 - (22 + 22) \cdot 0.11 \cdot 0.82 = 20.61 ^{\circ} C \\ t_{x}(0) \cdot r R_{np} = 22 - (22 + 22) \cdot 0.11 \cdot 0.82 = 20.61 ^{\circ} C \\ t_{x}(0) \cdot r R_{np} = 22 - (22 + 22) \cdot 0.11 \cdot 0.82 = 20.61 ^{\circ} C \\ t_{x}(0) \cdot r R_{np} = 22 - (22 + 22) \cdot 0.11 \cdot 0.82 = 20.61 ^{\circ} C \\ t_{x}(0) \cdot r R_{np} = 22 - (22 + 22) \cdot 0.11 \cdot 0.82 = 20.61 ^{\circ} C \\ t_{x}(0) \cdot r R_{np} = 22 - (22 + 22) \cdot 0.11 \cdot 0.82 = 20.61 ^{\circ} C \\ t_{x}(0) \cdot r R_{np} = 22 - (22 + 22) \cdot 0.11 \cdot 0.82 = 20.61 ^{\circ} C \\ t_{x}(0) \cdot r R_{np} = 22 - (22 + 22) \cdot 0.11 \cdot 0.82 = 20.61$ 

Точка 3: t<sub>x</sub>(1) = 20.34°C - температура на границе слоёв №1 - "Сложный (песок, известь, цемент) раствор" и №2 - "Кладка полнотелого силикатного кирпича 1800 кг/м³ на ЦПР"

$$R_{x}(1) = 1\alpha_{int} + \sum_{i=11}(R_{i}) = 18.7 + 0.021 = 0.131 \text{m}_{2} \cdot {^{\circ}\text{CB}} \\ \text{T}$$

$$tx(1) = t_{int} - (t_{int} - t_{ext}) \cdot Rx(1) \cdot rR_{np} = 22 - (22 + 22) \cdot 0.131 \cdot 0.82.779 = 20.34^{\circ}Ctx(1) = t_{int} - (t_{int} - t_{ext}) \cdot Rx(1) \cdot rR_{np} = 22 - (22 + 22) \cdot 0.131 \cdot 0.82.779 = 20.34^{\circ}Ctx(1) = t_{int} - (t_{int} - t_{ext}) \cdot Rx(1) \cdot rR_{np} = 22 - (22 + 22) \cdot 0.131 \cdot 0.82.779 = 20.34^{\circ}Ctx(1) = t_{int} - (t_{int} - t_{ext}) \cdot Rx(1) \cdot rR_{np} = 22 - (22 + 22) \cdot 0.131 \cdot 0.82.779 = 20.34^{\circ}Ctx(1) = t_{int} - (t_{int} - t_{ext}) \cdot Rx(1) \cdot rR_{np} = 22 - (22 + 22) \cdot 0.131 \cdot 0.82.779 = 20.34^{\circ}Ctx(1) = t_{int} - (t_{int} - t_{ext}) \cdot Rx(1) \cdot rR_{np} = 22 - (22 + 22) \cdot 0.131 \cdot 0.82.779 = 20.34^{\circ}Ctx(1) = t_{int} - (t_{int} - t_{ext}) \cdot Rx(1) \cdot rR_{np} = 22 - (22 + 22) \cdot 0.131 \cdot 0.82.779 = 20.34^{\circ}Ctx(1) = t_{int} - (t_{int} - t_{ext}) \cdot Rx(1) \cdot rR_{np} = 22 - (22 + 22) \cdot 0.131 \cdot 0.82.779 = 20.34^{\circ}Ctx(1) = t_{int} - (t_{int} - t_{ext}) \cdot Rx(1) \cdot rR_{np} = 22 - (22 + 22) \cdot 0.131 \cdot 0.82.779 = 20.34^{\circ}Ctx(1) = t_{int} - (t_{int} - t_{ext}) \cdot Rx(1) \cdot rR_{np} = 22 - (22 + 22) \cdot 0.131 \cdot 0.82.779 = 20.34^{\circ}Ctx(1) = t_{int} - (t_{int} - t_{ext}) \cdot Rx(1) \cdot rR_{np} = 22 - (22 + 22) \cdot 0.131 \cdot 0.82.779 = 20.34^{\circ}Ctx(1) = t_{int} - (t_{int} - t_{ext}) \cdot Rx(1) \cdot rR_{np} = 22 - (22 + 22) \cdot 0.131 \cdot 0.82.779 = 20.34^{\circ}Ctx(1) = t_{int} - (t_{int} - t_{ext}) \cdot Rx(1) \cdot rR_{np} = 22 - (22 + 22) \cdot 0.131 \cdot 0.82.779 = 20.34^{\circ}Ctx(1) = t_{int} - (t_{int} - t_{ext}) \cdot Rx(1) \cdot rR_{np} = 22 - (t_{int} - t_{ext}) \cdot Rx(1) \cdot rR_{np} = 22 - (t_{int} - t_{ext}) \cdot Rx(1) \cdot rR_{np} = 22 - (t_{int} - t_{ext}) \cdot Rx(1) \cdot rR_{np} = 22 - (t_{int} - t_{ext}) \cdot Rx(1) \cdot rR_{np} = 22 - (t_{int} - t_{ext}) \cdot Rx(1) \cdot rR_{np} = 22 - (t_{int} - t_{ext}) \cdot Rx(1) \cdot rR_{np} = 22 - (t_{int} - t_{ext}) \cdot Rx(1) \cdot rR_{np} = 22 - (t_{int} - t_{ext}) \cdot Rx(1) \cdot rR_{np} = 22 - (t_{int} - t_{ext}) \cdot Rx(1) \cdot rR_{np} = 22 - (t_{int} - t_{ext}) \cdot Rx(1) \cdot rR_{np} = 22 - (t_{int} - t_{ext}) \cdot Rx(1) \cdot rR_{np} = 22 - (t_{int} - t_{int}) \cdot Rx(1) \cdot rR_{np} = 22 - (t_{int} - t_{int}) \cdot Rx(1) \cdot Rx($$

Точка 4: t<sub>x</sub>(2) = 13.53°C - температура на границе слоёв №2 - *"Кладка полнотелого силикатного кирпича 1800 кг/м³ на ЦПР"* и №3 - *"Технофас Экстра"* 

$$R_{x}(2) = 1\alpha_{int} + \sum_{i=12}(R_{i}) = 18.7 + 0.021 + 0.538 = 0.669 \text{m}_{2} \cdot {^{\circ}\text{CB}} + R_{x}(2) = 1\alpha_{int} + \sum_{i=12}(R_{i}) = 18.7 + 0.021 + 0.538 = 0.669 \text{m}_{2} \cdot {^{\circ}\text{CB}} + 0.021 +$$

$$tx(2) = t_{int} - (t_{int} - t_{ext}) \cdot Rx(2) \cdot rR_{np} = 22 - (22 + 22) \cdot 0.669 \cdot 0.82.779 = 13.53 \circ Ctx(2) = t_{int} - (t_{int} - t_{ext}) \cdot Rx(2) \cdot rR_{np} = 22 - (22 + 22) \cdot 0.669 \cdot 0.82.779 = 13.53 \circ Ctx(2) = t_{int} - (t_{int} - t_{ext}) \cdot Rx(2) \cdot rR_{np} = 22 - (22 + 22) \cdot 0.669 \cdot 0.82.779 = 13.53 \circ Ctx(2) = t_{int} - (t_{int} - t_{ext}) \cdot Rx(2) \cdot rR_{np} = 22 - (22 + 22) \cdot 0.669 \cdot 0.82.779 = 13.53 \circ Ctx(2) = t_{int} - (t_{int} - t_{ext}) \cdot Rx(2) \cdot rR_{np} = 22 - (22 + 22) \cdot 0.669 \cdot 0.82.779 = 13.53 \circ Ctx(2) = t_{int} - (t_{int} - t_{ext}) \cdot Rx(2) \cdot rR_{np} = 22 - (22 + 22) \cdot 0.669 \cdot 0.82.779 = 13.53 \circ Ctx(2) = t_{int} - (t_{int} - t_{ext}) \cdot Rx(2) \cdot rR_{np} = 22 - (22 + 22) \cdot 0.669 \cdot 0.82.779 = 13.53 \circ Ctx(2) = t_{int} - (t_{int} - t_{ext}) \cdot Rx(2) \cdot rR_{np} = 22 - (22 + 22) \cdot 0.669 \cdot 0.82.779 = 13.53 \circ Ctx(2) = t_{int} - (t_{int} - t_{ext}) \cdot Rx(2) \cdot rR_{np} = 22 - (22 + 22) \cdot 0.669 \cdot 0.82.779 = 13.53 \circ Ctx(2) = t_{int} - (t_{int} - t_{ext}) \cdot Rx(2) \cdot rR_{np} = 22 - (22 + 22) \cdot 0.669 \cdot 0.82.779 = 13.53 \circ Ctx(2) = t_{int} - (t_{int} - t_{ext}) \cdot Rx(2) \cdot rR_{np} = 22 - (22 + 22) \cdot 0.669 \cdot 0.82.779 = 13.53 \circ Ctx(2) = t_{int} - (t_{int} - t_{ext}) \cdot Rx(2) \cdot rR_{np} = 22 - (22 + 22) \cdot 0.669 \cdot 0.82.779 = 13.53 \circ Ctx(2) = t_{int} - (t_{int} - t_{ext}) \cdot Rx(2) \cdot rR_{np} = 22 - (22 + 22) \cdot 0.669 \cdot 0.82.779 = 13.53 \circ Ctx(2) = t_{int} - (t_{int} - t_{ext}) \cdot Rx(2) \cdot rR_{np} = 22 - (t_{int} - t_{ext}) \cdot Rx(2) \cdot rR_{np} = 22 - (t_{int} - t_{ext}) \cdot Rx(2) \cdot rR_{np} = 22 - (t_{int} - t_{ext}) \cdot Rx(2) \cdot rR_{np} = 22 - (t_{int} - t_{ext}) \cdot Rx(2) \cdot rR_{np} = 22 - (t_{int} - t_{ext}) \cdot Rx(2) \cdot$$

Точка 5: t<sub>x</sub>(3) = -20.88°C - температура на границе слоёв №3 - "ISOVER Каркас-П34" и №4 - "Штукатурка на полимерной основе, F100"

$$R_x(3) = 1\alpha \\ \text{int} + \sum_{i=13} (R_i) \\ = 18.7 \\ = 3.372 \\ \text{m2} \cdot ^{\circ} \\ \text{CBtRx}(3) \\ = 1\alpha \\ \text{int} + \sum_{i=13} (R_i) \\ = 18.7 \\ = 3.372 \\ \text{m2} \cdot ^{\circ} \\ \text{CBtRx}(3) \\ = 1\alpha \\ \text{int} + \sum_{i=13} (R_i) \\ = 18.7 \\ = 3.372 \\ \text{m2} \cdot ^{\circ} \\ \text{CBtRx}(3) \\ = 1\alpha \\ \text{int} + \sum_{i=13} (R_i) \\ = 18.7 \\ = 3.372 \\ \text{m2} \cdot ^{\circ} \\ \text{CBtRx}(3) \\ = 1\alpha \\ \text{int} + \sum_{i=13} (R_i) \\ = 18.7 \\ = 3.372 \\ \text{m2} \cdot ^{\circ} \\ \text{CBtRx}(3) \\ = 10\alpha \\ \text{int} + \sum_{i=13} (R_i) \\ = 10\alpha \\$$

$$t_x(3)$$
=tint-(tint-text)·Rx(3)·rRпp=22-(22+22)·3.372·0.82.779=-20.88°Ctx(3)=tint-(tint-text)·Rx(3)·rRпp=22-(22+22)·3.372·0.82.779=-20.88°C Точка 6:  $t_{\text{ext}}$  = -22°C - температура окружающей среды

# Определение плоскости максимального увлажнения (конденсации)

# Методика, базирующаяся на использовании метода безразмерных характеристик.

Для каждого слоя многослойной конструкции вычисляется значение комплекса  $f_i(t_{\text{м.у.}})$ , характеризующего температуру в плоскости максимального увлажнения.

№ слоя	Слой конструкции	$R_{ni} = \delta_i / \mu_i$	$\mu_i/\lambda_i$
Внутр	енняя поверхность ограждения	$R_{\text{int,vp}} = 0.0266$	0
1	Сложный (песок, известь, цемент) раствор	0.015 / 0.098 = 0.153	0.098 / 0.7 = 0.14
2	Кладка полнотелого силикатного	0.51 / 0.11 =	0.11 / 0.9 =

	кирпича 1800 кг/м³ на ЦПР	4.636	0.122222
3	Технофас Экстра	0.1 / 0.55 = 0.182	0.55 / 0.037 = 14.864865
4	Штукатурка на полимерной основе, F100	0.01 / 0.02 = 0.5	$0.02 / 0.7 = \\ 0.028571$

 $R_{int,vp}$  и  $R_{ext,vp}$  - сопротивления влагообмену соответственно внутренней и наружной поверхности ограждения, (м<sup>2</sup>·ч·Па / мг).

#### Примечание:

- 1. Сопротивление паропроницанию замкнутых воздушных прослоек в ограждающих конструкциях следует принимать равным нулю независимо от расположения и толщины этих прослоек.
- 2. Слои конструкции, расположенные между воздушной прослойкой, вентилируемой наружным воздухом, и наружной поверхностью ограждающей конструкции, не учитываются в расчете.

 $f_{i}(t_{\text{M.y.}}) = 5330 \cdot R_{0, \text{n}} \cdot (t_{\text{B}} - t_{\text{H,oTp}}) \cdot \mu_{i} R_{\text{ycn}0} \cdot (e_{\text{B}} - e_{\text{H,oTp}}) \cdot \lambda_{i} f_{i}(t_{\text{M.y.}}) = 5330 \cdot R_{0, \text{n}} \cdot (t_{\text{B}} - t_{\text{H,oTp}}) \cdot \mu_{i} R_{0} \cdot (e_{\text{B}} - e_{\text{H,oTp}}) \cdot \lambda_{i} f_{i}(t_{\text{M.y.}}) = 5330 \cdot R_{0, \text{n}} \cdot (t_{\text{B}} - t_{\text{H,oTp}}) \cdot \mu_{i} R_{0} \cdot (e_{\text{B}} - e_{\text{H,oTp}}) \cdot \lambda_{i} f_{i}(t_{\text{M.y.}}) = 5330 \cdot R_{0, \text{n}} \cdot (t_{\text{B}} - t_{\text{H,oTp}}) \cdot \mu_{i} R_{0} \cdot (e_{\text{B}} - e_{\text{H,oTp}}) \cdot \lambda_{i} f_{i}(t_{\text{M.y.}}) = 5330 \cdot R_{0, \text{n}} \cdot (t_{\text{B}} - t_{\text{H,oTp}}) \cdot \mu_{i} R_{0} \cdot (e_{\text{B}} - e_{\text{H,oTp}}) \cdot \lambda_{i} f_{i}(t_{\text{M.y.}}) = 5330 \cdot R_{0, \text{n}} \cdot (t_{\text{B}} - t_{\text{H,oTp}}) \cdot \mu_{i} R_{0} \cdot (e_{\text{B}} - e_{\text{H,oTp}}) \cdot \lambda_{i} f_{i}(t_{\text{M.y.}}) = 5330 \cdot R_{0, \text{n}} \cdot (t_{\text{B}} - t_{\text{H,oTp}}) \cdot \mu_{i} R_{0} \cdot (e_{\text{B}} - e_{\text{H,oTp}}) \cdot \lambda_{i} f_{i}(t_{\text{M.y.}}) = 5330 \cdot R_{0, \text{n}} \cdot (t_{\text{B}} - t_{\text{H,oTp}}) \cdot \mu_{i} R_{0} \cdot (e_{\text{B}} - e_{\text{H,oTp}}) \cdot \lambda_{i} f_{i}(t_{\text{M.y.}}) = 5330 \cdot R_{0, \text{n}} \cdot (t_{\text{B}} - t_{\text{H,oTp}}) \cdot \mu_{i} R_{0} \cdot (e_{\text{B}} - e_{\text{H,oTp}}) \cdot \lambda_{i} f_{i}(t_{\text{M.y.}}) = 5330 \cdot R_{0, \text{n}} \cdot (t_{\text{B}} - t_{\text{H,oTp}}) \cdot \mu_{i} R_{0} \cdot (e_{\text{B}} - e_{\text{H,oTp}}) \cdot \lambda_{i} f_{i}(t_{\text{M.y.}}) = 5330 \cdot R_{0, \text{n}} \cdot (t_{\text{B}} - t_{\text{H,oTp}}) \cdot \mu_{i} R_{0} \cdot (e_{\text{B}} - e_{\text{H,oTp}}) \cdot \lambda_{i} f_{i}(t_{\text{M.y.}}) = 5330 \cdot R_{0, \text{n}} \cdot (t_{\text{B}} - t_{\text{H,oTp}}) \cdot \mu_{i} R_{0} \cdot (e_{\text{B}} - e_{\text{H,oTp}}) \cdot \lambda_{i} f_{i}(t_{\text{M.y.}}) = 5330 \cdot R_{0, \text{n}} \cdot (t_{\text{B}} - t_{\text{M.y.}}) \cdot \lambda_{i} f_{i}(t_{\text{M.y.}}) = 5330 \cdot R_{0, \text{n}} \cdot (t_{\text{B}} - t_{\text{M.y.}}) \cdot \lambda_{i} f_{i}(t_{\text{M.y.}}) = 5330 \cdot R_{0, \text{n}} \cdot (t_{\text{B}} - t_{\text{M.y.}}) \cdot \lambda_{i} f_{i}(t_{\text{M.y.}}) = 5330 \cdot R_{0, \text{n}} \cdot (t_{\text{B}} - t_{\text{M.y.}}) \cdot \lambda_{i} f_{i}(t_{\text{M.y.}}) = 5330 \cdot R_{0, \text{n}} \cdot (t_{\text{B}} - t_{\text{M.y.}}) \cdot \lambda_{i} f_{i}(t_{\text{M.y.}}) = 5330 \cdot R_{0, \text{n}} \cdot (t_{\text{B}} - t_{\text{M.y.}}) \cdot \lambda_{i} f_{i}(t_{\text{M.y.}}) = 5330 \cdot R_{0, \text{N}} \cdot (t_{\text{B}} - t_{\text{M.y.}}) \cdot \lambda_{i} f_{i}(t_{\text{M.y.}}) = 5330 \cdot R_{0, \text{M.y.}} \cdot (t_{\text{B}} - t_{\text{M.y.}}) \cdot \lambda_{i} f_{i}(t_{\text{M.y.}})$  $R_{0,\Pi} = \sum_i (\delta_i \mu_i) = 0.0266 + 0.153 + 4.636 + 0.182 + 0.5 + 0.0133 = 5.5109$  μ2·4·ΠαμΓR0,Π= $\sum_i (\delta_i \mu_i) = 0.0266 + 0.153 + 4.636 + 0.182 + 0.5 + 0.0133 = 5.5109$  μ2·4·ΠαμΓR0,Π= $\sum_i (\delta_i \mu_i) = 0.0266 + 0.153 + 4.636 + 0.182 + 0.5 + 0.0133 = 5.5109$  μ2·4·ΠαμΓR0,Π= $\sum_i (\delta_i \mu_i) = 0.0266 + 0.153 + 0.0133 = 5.5109$  μ2·4·ΠαμΓR0,Π= $\sum_i (\delta_i \mu_i) = 0.0266 + 0.153 + 0.0133 = 5.5109$  μ2·4·ΠαμΓR0,Π= $\sum_i (\delta_i \mu_i) = 0.0266 + 0.153 + 0.0133 = 5.5109$  μ2·4·ΠαμΓR0,Π= $\sum_i (\delta_i \mu_i) = 0.0266 + 0.153 + 0.0133 = 5.5109$  μ2·4·ΠαμΓR0,Π= $\sum_i (\delta_i \mu_i) = 0.0266 + 0.153 + 0.0133 = 5.5109$  μ2·4·ΠαμΓR0,Π= $\sum_i (\delta_i \mu_i) = 0.0266 + 0.153 + 0.0133 = 5.5109$  μ2·4·ΠαμΓR0,Π= $\sum_i (\delta_i \mu_i) = 0.0266 + 0.153 + 0.0133 = 5.5109$  μ2·4·ΓαμΓR0,Π= $\sum_i (\delta_i \mu_i) = 0.0266 + 0.153 + 0.0133 = 5.5109$ 0.153+4.636+0.182+0.5+0.0133=5.5109м2-ч-Памг

Е₃ - парциальное давление насыщенного водяного пара, Па, при температуре воздуха от -40 до +45 °C определяется по формуле:

 $E(t)=1.84\cdot10_{11}\cdot\exp(-5330273+t)E(t)=1.84\cdot1011\cdot\exp(-5330273+t)$ Для температуры  $t_s = 22 \, ^{\circ}\text{C}$ :

$$E_B=E(22)=1.84\cdot10$$
11·exp(-5330273+22)=2618.63 ПаЕв=E(22)=1.84·1011·exp(-5330273+22)=2618.63Па

ев - парциальное давление водяного пара внутреннего воздуха, Па, при расчётных температуре и относительной влажности воздуха в помещении, определяемое по формуле:

 $e_B = (\phi_B 100) \cdot E_B = (59100) \cdot 2618.63 = 1544.99 \text{ } \PiaeB = (\phi_B 100) \cdot E_B = (59100) \cdot 2618.63 = 1544.99 \PiaeB = (\phi_B 100) \cdot E_B = (59100) \cdot 2618.63 = 1544.99 \PiaeB = (\phi_B 100) \cdot E_B = (59100) \cdot 2618.63 = 1544.99 \PiaeB = (\phi_B 100) \cdot E_B = (59100) \cdot 2618.63 = 1544.99 \PiaeB = (\phi_B 100) \cdot E_B = (59100) \cdot 2618.63 = 1544.99 \PiaeB = (\phi_B 100) \cdot E_B = (59100) \cdot 2618.63 = 1544.99 \PiaeB = (\phi_B 100) \cdot E_B = (59100) \cdot 2618.63 = 1544.99 \PiaeB = (\phi_B 100) \cdot E_B = (59100) \cdot 2618.63 = 1544.99 \PiaeB = (\phi_B 100) \cdot E_B = (59100) \cdot 2618.63 = 1544.99 \PiaeB = (\phi_B 100) \cdot E_B = (59100) \cdot 2618.63 = 1544.99 \PiaeB = (\phi_B 100) \cdot E_B = (59100) \cdot 2618.63 = 1544.99 \PiaeB = (\phi_B 100) \cdot E_B = (59100) \cdot 2618.63 = 1544.99 \PiaeB = (\phi_B 100) \cdot E_B = (59100) \cdot 2618.63 = 1544.99 \PiaeB = (\phi_B 100) \cdot E_B = (\phi_B 100) \cdot E$ е<sub>ното</sub> - среднее парциальное давление водяного пара наружного воздуха периода месяцев с отрицательными среднемесячными температурами, определяемое по СП 131.13330:

$$e_{\text{H,отр}} = 100 \cdot 3.7 + 3.7 + 4.53 = 397$$
 Паен,отр=100·3.7+3.7+4.53=397Па

t<sub>н.отр</sub> - среднее значение температуры наружного воздуха периода месяцев с отрицательными среднемесячными температурами, определяемое по СП 131.13330:

$$t_{\text{H,OTP}} = -6.3 - 5.6 - 3.63 = -5.17^{\circ}\text{Cth,otp} = -6.3 - 5.6 - 3.63 = -5.17^{\circ}\text{C}$$

 $\mu_i/\lambda_i$  - отношение расчетных коэффициентов теплопроводности, Вт/(м2 х °С), и паропроницаемости, мг/(м х ч х Па), материала соответствующего слоя, либо 0, если коэффициенты не заданы.

 $fi(t_{\text{M.y.}}) = 5330 \cdot R_{0,n} \cdot (t_{\text{B}} - t_{\text{H,OTP}}) \cdot \mu i R_{\text{ycn}0} \cdot (e_{\text{B}} - e_{\text{H,OTP}}) \cdot \lambda i = 5330 \cdot 5.5109 \cdot (22 + 5.17) \cdot \mu i 3.474 \cdot (1544.99 - 3.474) \cdot (1544.9$ 

97)  $\cdot \lambda_i = 200.11 \cdot (\mu_i \lambda_i) fi(tm.y.) = 5330 \cdot R0, \pi \cdot (tB-tH, otp) \cdot \mu_i R0 y c \pi \cdot (eB-tH$ ен,отр)·λі=5330·5.5109·(22+5.17)·μі3.474·(1544.99-397)·λі=200.11·(μіλі)

 $f_1(t_{M.y.})=200.11\cdot0.14=28.02f_1(t_{M.y.})=200.11\cdot0.14=28.02$ 

 $f_2(t_{\text{M.y.}}) = 200.11 \cdot 0.122222 = 24.46 f_2(t_{\text{M.y.}}) = 200.11 \cdot 0.122222 = 24.46 f_2(t_{\text{M.y.}})$ 

 $f_3(t_{\text{M.y.}}) = 200.11 \cdot 14.864865 = 2974.61 f_3(t_{\text{M.y.}}) = 200.11 \cdot 14.864865 = 2974.61$ 

 $f_4(t_{M,y}) = 200.11 \cdot 0.028571 = 5.72f_4(t_{M,y}) = 2$ 

Согласно СП 50.13330 табл. 11, при неотрицательном  $f_i(t_{\text{м.у.}})$  найдём  $t_{\text{м.у.}}$  по формуле:

 $t_{\text{M.y.}}=a \cdot b + c \cdot f(t_{\text{M.y.}}) db + f(t_{\text{M.y.}}) dt_{\text{M.y.}}=a \cdot b + c \cdot f(t_{\text{M.y.}}) db + f(t_{\text{M.y.}}) db$ a=96.6680675349a=96.6680675349

b=4.89349504771b=4.89349504771

c=-66.4983819958c=-66.4983819958

d=0.406903783624d=0.406903783624

 $\begin{array}{l} t_{\text{M.y.1}} = a \cdot b + c \cdot 28.02 \text{d}b + 28.02 \text{d} = 24.495 \\ t_{\text{M.y.2}} = a \cdot b + c \cdot 24.46 \text{d}b + 24.46 \text{d} = 26.713 \\ t_{\text{M.y.3}} = a \cdot b + c \cdot 2974.61 \text{d}b + 2974.61 \text{d} = -40.572 \\ t_{\text{M.y.4}} = a \cdot b + c \cdot 5.72 \text{d}b + 5.72 \\ d = 48.773 \\ t_{\text{M.y.4}} = a \cdot b + c \cdot 5.72 \\ d = 48.773 \\ \end{array}$ 

#### Расчёт температур на границах слоёв

 $\tau_{\text{срk}} = t_{\text{B}} - \left(t_{\text{B}} - t_{\text{H,oTp}} R_{\text{ycn0}}\right) \cdot \left(1\alpha \text{int} + \sum_{i=1k}(R_i)\right) \tau_{\text{срk}} = t_{\text{B}} - \left(t_{\text{B}} - t_{\text{H,oTp}} R_{\text{ycn0}}\right) \cdot \left(1\alpha \text{int} + \sum_{i=1k}(R_i)\right) \tau_{\text{срk}} = t_{\text{B}} - \left(t_{\text{B}} - t_{\text{H,oTp}} R_{\text{ycn0}}\right) \cdot \left(1\alpha \text{int} + \sum_{i=1k}(R_i)\right) \tau_{\text{cpk}} = t_{\text{B}} - \left(t_{\text{B}} - t_{\text{H,oTp}} R_{\text{ycn0}}\right) \cdot \left(1\alpha \text{int} + \sum_{i=1k}(R_i)\right) \tau_{\text{cpk}} = t_{\text{B}} - \left(t_{\text{B}} - t_{\text{H,oTp}} R_{\text{ycn0}}\right) \cdot \left(1\alpha \text{int} + \sum_{i=1k}(R_i)\right) \tau_{\text{cpk}} = t_{\text{B}} - \left(t_{\text{B}} - t_{\text{H,oTp}} R_{\text{ycn0}}\right) \cdot \left(1\alpha \text{int} + \sum_{i=1k}(R_i)\right) \tau_{\text{cpk}} = t_{\text{B}} - \left(t_{\text{B}} - t_{\text{H,oTp}} R_{\text{ycn0}}\right) \cdot \left(1\alpha \text{int} + \sum_{i=1k}(R_i)\right) \tau_{\text{cpk}} = t_{\text{B}} - t_{\text{B}} \tau_{\text{Cpk}} = t_{\text{B}} - t_{\text{B}} \tau_{\text{B}} = t_{\text{B}} \tau_{\text{$ 

#### Сводная таблица $t_{M,V}$ и $\tau_{CD,K}$

Составляется таблица, содержащая для каждого слоя  $t_{\scriptscriptstyle M.y.}$  и вычисленные выше температуры на границах слоя (при средней температуре наружного воздуха периода с отрицательными среднемесячными температурами):

№ слоя	Слой конструкции	$ au_{cpk},{}^{\circ}{ m C}$	$t_{\scriptscriptstyle M.y.}$ , °C
0		21.1	24.405
1	Сложный (песок, известь, цемент) раствор	20.94	24.495
1	Кладка полнотелого силикатного кирпича	20.94	26.713
2	$1800 \ { m KF/M^3}$ на ЦПР	16.73	20./13
2	Tayya haa Oyomaa	16.73	-40.572
3	Технофас Экстра	-4.41	-40.372
3	TII. Y F100	-4.41	49 772
4	Штукатурка на полимерной основе, F100	-4.52	48.773

#### Определение плоскости максимального увлажнения

Как видно из таблицы, нашлись пары соседних слоёв, где для более холодного слоя выполняется условие  $t_{\scriptscriptstyle M.y.} > \max(\tau_{\scriptscriptstyle cp})$  и для более тёплого  $t_{\scriptscriptstyle M.y.} < \min(\tau_{\scriptscriptstyle cp})$ . Плоскость конденсации может находиться между слоями в следующих парах:

• №4. Штукатурка на полимерной основе, F100 и №3. Технофас Экстра

# Защита от переувлажнения ограждающих конструкций

 $Z_{\text{зима}}$ ,  $Z_{\text{весна-осень}}$ ,  $Z_{\text{лето}}$  - продолжительность зимнего, весенне-осеннего и летнего периодов года, мес, определяемая по СП 131.13330, Таблица 5.1, с учетом следующих условий:

- к зимнему периоду относятся месяцы со средними температурами наружного воздуха ниже минус 5 °C;
- к весенне-осеннему периоду относятся месяцы со средними температурами наружного воздуха от минус 5 до 5 °C;
- к летнему периоду относятся месяцы со средними температурами наружного воздуха выше плюс 5 °C;

Z	$Z_{\scriptscriptstyle  ext{\tiny 3MMa}}$	$Z_{\scriptscriptstyle{ ext{Becha-ocehb}}}$	$Z_{ ext{ iny nero}}$
количество месяцев	2	3	7
∑(t),°С∑(t),°С суммарная температура	-6.3- 5.6 = - 11.9	+0.1+1.3- 3.6 = -2.2	+9.4+16+19.9+21.9+21.2+15.1+7.8 = 111.3
t <sub>cp.z</sub> ,°Ctcp.z,°C среднее арифметическое	-5.95	-0.73	15.9

Для всех вероятных зон конденсации проводится расчёт.

Расчёт для плоскости,расположенной на границе слоёв №4. Штукатурка на полимерной основе, F100 и №3. ISOVER Каркас-П34.

Z	$Z_{\scriptscriptstyle \scriptscriptstyle 3 \text{\tiny MM} a}$	Z <sub>весна-осень</sub>	$Z_{\scriptscriptstyle{ ext{ iny nero}}}$
тк,°Стк,°С температура в зоне конденсации	-5.17	-0.09	16.07
Ек,Ек, Па парциальное давление насыщенного водяного пара	418.85	606.65	1807.61

Температура в зоне конденсации:

$$\tau_{\kappa}=t_{B}-(t_{B}-t_{CP,Z}R_{yCD})\cdot(1\alpha int+R_{K})$$
тк=tB-(tB-tCP,ZR0yCD)·(1\alpha int+R\k)

где: R<sub>к</sub> - сопротивление теплопередаче на участке от внутренней поверхности до плоскости конденсации.

 $E_{\scriptscriptstyle B}$  - парциальное давление насыщенного водяного пара, Па, при температуре воздуха от -40 до +45 °C определяется по формуле:

$$E(t) = 1.84 \cdot 10_{11} \cdot \exp(-5330273 + \tau_{\text{K}}) \\ E(t) = 1.84 \cdot 10_{11} \cdot \exp(-5330273 + \tau_{\text{K}}) \\ R_{\text{K}} = 0.021 + 0.538 + 2.7027 + 0.014 \cdot 010 = 3.262 \\ \text{M2} \cdot ^{\circ} \\ \text{CBt}$$

$$\tau_{\text{к,зима}}$$
=22-(22+5.953.474)·(18.7+3.262)=-5.17°Стк,зима=22-(22+5.953.474)·(18.7+3.262)=-5.17°С   
  $E_{\text{к,зима}}$ =1.84·1011·exp(-5330273-5.17)=418.85 ПаЕк,зима=1.84·1011·exp(-5330273-5.17)=418.85Па

#### Осень-весна

$$\tau_{\text{К,осень-весна}}=22-(22+0.733.474)\cdot(18.7+3.262)=-0.09^{\circ}$$
Стк,осень-весна=22- (22+0.733.474)·(18.7+3.262)=-0.09^{\circ}С Ек,осень-весна=1.84·1011·exp(-5330273-0.09)=606.65 ПаЕк,осень-весна=1.84·1011·exp(-5330273-0.09)=606.65Па

#### Лето

При определении парциального давления для летнего периода, температуру в плоскости максимального увлажнения следует принимать не ниже средней температуры наружного воздуха летнего периода.

$$\tau_{\text{к,лето}} = 22 - (22 - 15.93.474) \cdot (18.7 + 3.262) = 16.07^{\circ} \text{Стк,лето} = 22 - (22 - 15.93.474) \cdot (18.7 + 3.262) = 16.07^{\circ} \text{С}$$
 
$$\tau_{\text{к,лето}} = \max(\tau_{\text{к,tcp.z}}) = 16.07^{\circ} \text{Стк,лето} = \max(\tau_{\text{к,tcp.z}}) = 16.07^{\circ} \text{С}$$
 
$$E_{\text{к,лето}} = 1.84 \cdot 1011 \cdot \exp(-5330273 + 16.07) = 1807.61 \text{ ПаЕк,лето} = 1.84 \cdot 1011 \cdot \exp(-5330273 + 16.07) = 1807.61 \text{ Па}$$

Е - парциальное давление насыщенного водяного пара в плоскости максимального увлажнения за годовой период эксплуатации, Па, определяемое по формуле:

 $E=E_{\text{К,3има}}\cdot Z_{\text{3има}}+E_{\text{К,осень-весна}}\cdot Z_{\text{осень-весна}}+E_{\text{К,лето}}\cdot Z_{\text{лето}}12E=E_{\text{К,3има}}\cdot Z_{\text{3има}}+E_{\text{К,осень-весна}}\cdot Z_{\text{осень-весна}}+E_{\text{К,лето}}\cdot Z_{\text{лето}}12E=E_{\text{К,3има}}\cdot Z_{\text{3има}}+E_{\text{K,осень-весна}}\cdot Z_{\text{осень-весна}}$ 

 $E=418.85\cdot2+606.65\cdot3+1807.61\cdot712=1275.91$  Па $E=418.85\cdot2+606.65\cdot3+1807.61\cdot712=1275.91$  Па Сопротивление паропроницанию  $R_n$ , (м $2\cdot4\cdot$ Па)/мг, ограждающей конструкции в пределах от внутренней поверхности до плоскости максимального увлажнения:

$$R_{\text{п}} = R_{\text{int,vp}} + \sum (\delta_{\text{i}} \mu_{\text{i}}) = R_{\text{Int,vp}} + \sum (\delta_{\text{i}} \mu_{\text{i}}) = \\ = 0.0266 + 15 \cdot 10 - 30.098 + 510 \cdot 10 - 30.11 + 100 \cdot 10 - 30.55 + 0 \cdot 10 - 30.02 = 4.99784 \text{м2} \cdot \text{ч} \cdot \text{Памг} = 0.0266 + \\ 15 \cdot 10 - 30.098 + 510 \cdot 10 - 30.11 + 100 \cdot 10 - 30.55 + 0 \cdot 10 - 30.02 = 4.99784 \text{м2} \cdot \text{ч} \cdot \text{Памг}$$
 Данное значение должно быть больше каждого из следующих двух значений:

• Требуемое сопротивление паропроницанию R<sub>1,л</sub>тр, (м2·ч·Па)/мг, из условия недопустимости накопления влаги в ограждающей конструкции за годовой период эксплуатации:

$$R_{\text{тр1,п}} = (e_{\text{в}} - E) \cdot (R_{\text{п,н}} E - e_{\text{н}}) R1, \text{птр} = (e_{\text{в}} - E) \cdot (R_{\text{п,н}} E - e_{\text{н}})$$

Средняя упругость водяного пара за годовой период (по СП 131.13330 табл. 7.1):

$$e_H = (10012) \cdot \sum_{i=112} (e_{H,i}) e_H = (10012) \cdot \sum_{i=112} (e_{H,i})$$

$$e_{\text{H}}$$
=(10012)·(3.7+3.7+5+7.4+10.1+13.5+15+13.1+10.5+8+6+4.5)=837.5 Паен=(10012)·(3.7+3.7+5+7.4+10.1+13.5+15+13.1+10.5+8+6+4.5)=837.5 Паен=(10012)

 $e_{\mbox{\tiny 8}}$  - парциальное давление водяного пара внутреннего воздуха, Па, при расчётных температуре и относительной влажности воздуха в помещении, определяемое по формуле:

$$e_B = (\phi_B 100) \cdot E_B = (59100) \cdot 2618.63 = 1544.99 \ \PiaeB = (\phi_B 100) \cdot E_B = (59100) \cdot 2618.63 = 1544.99 \ \PiaeB = (\phi_B 100) \cdot E_B = (59100) \cdot 2618.63 = 1544.99 \ \PiaeB = (\phi_B 100) \cdot E_B = (59100) \cdot 2618.63 = 1544.99 \ \PiaeB = (\phi_B 100) \cdot E_B = (59100) \cdot 2618.63 = 1544.99 \ \PiaeB = (\phi_B 100) \cdot E_B = (59100) \cdot 2618.63 = 1544.99 \ \PiaeB = (\phi_B 100) \cdot E_B = (59100) \cdot 2618.63 = 1544.99 \ \PiaeB = (\phi_B 100) \cdot E_B = (59100) \cdot 2618.63 = 1544.99 \ \PiaeB = (\phi_B 100) \cdot E_B = (59100) \cdot 2618.63 = 1544.99 \ \PiaeB = (\phi_B 100) \cdot E_B = (59100) \cdot 2618.63 = 1544.99 \ \PiaeB = (\phi_B 100) \cdot E_B = (59100) \cdot 2618.63 = 1544.99 \ \PiaeB = (\phi_B 100) \cdot E_B = (\phi_B 100) \cdot$$

$$E_B$$
=E(22)=1.84·10<sub>11</sub>·exp(-5330273+22)=2618.63 ПаЕв=E(22)=1.84·10<sub>11</sub>·exp(-5330273+22)=2618.63 Па

R<sub>п.н</sub> - сопротивление паропроницанию, (м2·ч·Па)/мг, части ограждающей конструкции, расположенной между наружной поверхностью ограждающей конструкции и плоскостью максимального увлажнения:

$$\begin{array}{l} R_{\text{п,H}} \! = \! R_{\text{ext,vp}} \! + \! \sum \! \left( \delta_{\text{i}} \mu_{\text{i}} \right) \! = \! 0.0133 \! + \! \left( 10 \! - \! 0 \right) \! \cdot \! 10 \! - \! 30.02 \! = \! 0.5 \text{м2} \cdot \! \text{ч} \cdot \! \Pi$$
амгRп, н=Rext, vp+ $\! \sum \! \left( \delta_{\text{i}} \mu_{\text{i}} \right) \! = \! 0.0133 \! + \! \left( 10 \! - \! 0 \right) \! \cdot \! 10 \! - \! 30.02 \! = \! 0.5 \text{м2} \cdot \! \text{ч} \cdot \! \Pi$ амг

$$R_{\text{Tp1,n}} = (1544.99 - 1275.91) \cdot (0.51275.91 - 837.5) = 0.30688 \text{R1,ntp} = (1544.99 - 1275.91) \cdot (0.51275.91 - 837.5) = 0.30688$$

Условие выполняется:  $R_n > R_{1,n}^{Tp}$  (4.99784 > 0.30688)

• Требуемое сопротивление паропроницанию,  $R_{2,n}^{-rp}$ , (м2·ч·Па)/мг, из условия ограничения накопления влаги за период с отрицательными температурами:

$$R_{\text{Tp2,n}} = 0.0024 \cdot z_0 \cdot (e_{\text{B}} - E_0) (\rho_{\text{W}1} \cdot \delta_{\text{W}1} \cdot \Delta_{\text{W}1} + \rho_{\text{W}2} \cdot \delta_{\text{W}2} \cdot \Delta_{\text{W}2}) + \eta R_2, \text{ptp} = 0.0024 \cdot z_0 \cdot (e_{\text{B}} - E_0) (\rho_{\text{W}1} \cdot \delta_{\text{W}1} \cdot \Delta_{\text{W}1} + \rho_{\text{W}2} \cdot \delta_{\text{W}2} \cdot \Delta_{\text{W}2}) + \eta R_2, \text{ptp} = 0.0024 \cdot z_0 \cdot (e_{\text{B}} - E_0) (\rho_{\text{W}1} \cdot \delta_{\text{W}1} \cdot \Delta_{\text{W}1} + \rho_{\text{W}2} \cdot \delta_{\text{W}2} \cdot \Delta_{\text{W}2}) + \eta R_2, \text{ptp} = 0.0024 \cdot z_0 \cdot (e_{\text{B}} - E_0) (\rho_{\text{W}1} \cdot \delta_{\text{W}1} \cdot \Delta_{\text{W}1} + \rho_{\text{W}2} \cdot \delta_{\text{W}2} \cdot \Delta_{\text{W}2}) + \eta R_2, \text{ptp} = 0.0024 \cdot z_0 \cdot (e_{\text{B}} - E_0) (\rho_{\text{W}1} \cdot \delta_{\text{W}1} \cdot \Delta_{\text{W}1} + \rho_{\text{W}2} \cdot \delta_{\text{W}2} \cdot \Delta_{\text{W}2}) + \eta R_2, \text{ptp} = 0.0024 \cdot z_0 \cdot (e_{\text{B}} - E_0) (\rho_{\text{W}1} \cdot \delta_{\text{W}1} \cdot \Delta_{\text{W}1} + \rho_{\text{W}2} \cdot \delta_{\text{W}2} \cdot \Delta_{\text{W}2}) + \eta R_2, \text{ptp} = 0.0024 \cdot z_0 \cdot (e_{\text{B}} - E_0) (\rho_{\text{W}1} \cdot \delta_{\text{W}1} \cdot \Delta_{\text{W}1} + \rho_{\text{W}2} \cdot \delta_{\text{W}2} \cdot \Delta_{\text{W}2}) + \eta R_2, \text{ptp} = 0.0024 \cdot z_0 \cdot (e_{\text{B}} - E_0) (\rho_{\text{W}1} \cdot \delta_{\text{W}1} \cdot \Delta_{\text{W}1} + \rho_{\text{W}2} \cdot \delta_{\text{W}2} \cdot \Delta_{\text{W}2}) + \eta R_2, \text{ptp} = 0.0024 \cdot z_0 \cdot (e_{\text{B}} - E_0) (\rho_{\text{W}1} \cdot \delta_{\text{W}1} \cdot \Delta_{\text{W}1} + \rho_{\text{W}2} \cdot \delta_{\text{W}2} \cdot \Delta_{\text{W}2}) + \eta R_2, \text{ptp} = 0.0024 \cdot z_0 \cdot (e_{\text{B}} - E_0) (\rho_{\text{W}1} \cdot \delta_{\text{W}1} \cdot \Delta_{\text{W}1} + \rho_{\text{W}2} \cdot \delta_{\text{W}2} \cdot \Delta_{\text{W}2}) + \eta R_2, \text{ptp} = 0.0024 \cdot z_0 \cdot (e_{\text{B}} - E_0) (\rho_{\text{W}1} \cdot \delta_{\text{W}1} \cdot \Delta_{\text{W}1} + \rho_{\text{W}2} \cdot \delta_{\text{W}2} \cdot \Delta_{\text{W}2}) + \eta R_2, \text{ptp} = 0.0024 \cdot z_0 \cdot (e_{\text{B}} - E_0) (\rho_{\text{W}1} \cdot \Delta_{\text{W}1} + \rho_{\text{W}2} \cdot \delta_{\text{W}2} \cdot \Delta_{\text{W}2}) + \eta R_2, \text{ptp} = 0.0024 \cdot z_0 \cdot (e_{\text{B}} - E_0) (\rho_{\text{W}1} \cdot \Delta_{\text{W}1} + \rho_{\text{W}2} \cdot \delta_{\text{W}2} \cdot \Delta_{\text{W}2}) + \eta R_2, \text{ptp} = 0.0024 \cdot z_0 \cdot (e_{\text{B}} - E_0) (\rho_{\text{W}1} \cdot \Delta_{\text{W}1} + \rho_{\text{W}2} \cdot \delta_{\text{W}2} \cdot \Delta_{\text{W}2}) + \eta R_2, \text{ptp} = 0.0024 \cdot z_0 \cdot (e_{\text{B}} - E_0) (\rho_{\text{W}1} \cdot \Delta_{\text{W}1} + \rho_{\text{W}2} \cdot \delta_{\text{W}2} \cdot \Delta_{\text{W}2}) + \eta R_2, \text{ptp} = 0.0024 \cdot z_0 \cdot (e_{\text{B}} - E_0) (\rho_{\text{W}1} \cdot \Delta_{\text{W}1} + \rho_{\text{W}2} \cdot \Delta_{\text{W}2} \cdot \Delta_{\text{W}2}) + \eta R_2, \text{ptp} = 0.0024 \cdot z_0 \cdot (e_{\text{B}} - E_0) (\rho_{\text{W}1} \cdot \Delta_{\text{W}1} + \rho_{\text{W}2} \cdot \Delta_{\text{W}2} \cdot \Delta_{\text{W}2}) + \eta R_2, \text{ptp} = 0.0024 \cdot z_0 \cdot (e_{\text{B}} -$$

 $\delta_{w_1}$ ,  $\delta_{w_2}$  - половины толщин слоёв, граничащих с плоскостью конденсации,  $\Delta w_1$ ,  $\Delta w_2$  - соответственно, предельно допустимое приращение расчетного массового отношения влаги в материале данных слоёв.

$$\eta = 0.0024 \cdot (E_0 - e_{H,\text{oTp}}) \cdot z_0 R_{\Pi,H} \eta = 0.0024 \cdot (E_0 - e_{H,\text{oTp}}) \cdot z_0 R_{\Pi,H}$$

z₀ = 119 - продолжительность периода влагонакопления, сут, принимаемая равной периоду с отрицательными средними месячными температурами наружного воздуха по СП 131.13330:

Температура в плоскости возможной конденсации для этого периода:

$$\tau_0 = t_B - (t_B - t_{H,\text{отр}} R_{\text{усл}0}) \cdot (1\alpha_{\text{int}} + R_K) = 22 - (22 + 5.173.474) \cdot (18.7 + 3.262) = -4.41$$
°Ст $0 = t_B - (t_B - t_{H,\text{отр}} R_{\text{усл}0}) \cdot (1\alpha_{\text{int}} + R_K) = 22 - (22 + 5.173.474) \cdot (18.7 + 3.262) = -4.41$ °С

Средняя упругость водяного пара за период с отрицательными среднемесячными температурами (по СП 131.13330 табл. 7.1)

$$e_{H, \text{отр}} = 100 \cdot 3.7 + 3.7 + 4.53 = 397$$
 Паен, отр=100 \cdot 3.7 + 3.7 + 4.53 = 397 Па

E₀ - парциальное давление насыщенного водяного пара в плоскости максимального увлажнения, Па, определяемое при средней температуре наружного воздуха периода влагонакопления z₀;

$$E_0=1.84\cdot10_{11}\cdot\exp(-5330273-4.41)=443.11$$
  $\Pi$ a $E_0=1.84\cdot10_{11}\cdot\exp(-5330273-4.41)=443.11$   $\Pi$ a

$$\eta = 0.0024 \cdot (443.11 - 397) \cdot 1190.5 = 26.33803 \eta = 0.0024 \cdot (443.11 - 397)$$

# $R_{\text{тр2,n}} = 0.0024 \cdot 119 \cdot (1544.99 - 443.11) 1000 \cdot 5 \cdot 10 - 3 \cdot 2 + 19 \cdot 50 \cdot 10 - 3 \cdot 3 + 26.33803 = 8.0304$ $4_{\text{M2}} \cdot 4 \cdot 10000 \cdot 10000 \cdot 1000 \cdot 1000$

#### Вывод

Конструкция рассчитана с учётом требований СП 50.13330.2012 "Тепловая защита зданий" и СП 131.13330.2020 "Строительная климатология".

Толщина теплоизоляционного слоя Технофас Экстра равна 100 мм.

#### В соответствии с расчётом:

- Конструкция удовлетворяет требованию по тепловой защите.
- Конструкция удовлетворяет санитарно-гигиеническому требованию.

#### Ведомость чертежей основного комплекта

Nucm	Наименование	Примечание
1	Общие данные	
2	План 1—го этажа, План подвала, План кровли	
3	Фасад 1—2, Фасад 2—1, Фасад А—Д, Фасад Д—А	

#### Общие данные

- 1. Раздел разработан на основании:
- технического задания от заказчика

Климатические данные района:

- район расположения здания: ЛНР, Новопсковский район, пгт. Белолуцк
- климатический район строительства— III7 по СП 131.13330.2012;
- нормативный скоростной напор ветра II—й ветровой район (0,48 кПа) по СП 20.13330.2016;
- расчетная снеговая нагрузка II снеговой район (1 кH/м2) по СП 20.13330.2016;
- средняя годовая температура наиболее холодных суток составляет —29 С° по СНиП 23—01—99 Характеристики здания:
- уровень ответственности здания II (нормальный);
- категория здания по функциональной пожарной опасности Ф 4,3;
- степень огнестойкости здания II;
- класс конструктивной пожарной onachocmu CO.
- 2. Данным разделом предусмотрен следующий объем работ по капитальному ремонту. Капитальный ремонт помещений:
- ремонт потолка;
- замена заполнений дверных проемов;
- ремонт пола;
- ремонт стен, заделка трещин.

Капитальный ремонт фасада

- ремонт трещин внешних стен;
- ремонт штукатурного слоя;
- ремонт козырька над входом;
- -ремонт цоколя
- 2. Данным разделом предусмотрен следующие архитектурные решения для здания:

Облицовка фасадов здания:

Цветовое решение фасада подчеркивает единство объёмно-пространственного сочетания сооружения. Внешний облик отвечает современным стилевым тенденциям, имеет индивидуальность и законченный архитектурный образ. Композиционными приемами достигается органичное сочетание функциональности и пользы с архитектурным стилем зданий. В аспекте строительных материалов и технологий в основу выбраны выразительный дизайн и долговечный безупречный внешний вид.

Отделка фасадов (техническое здание) — стены окрашены защитной краской "Caparol AcrylFassadenfarbe".

Цоколь технического здания окрашивается краской "Caparol".

Внутренняя отделка:

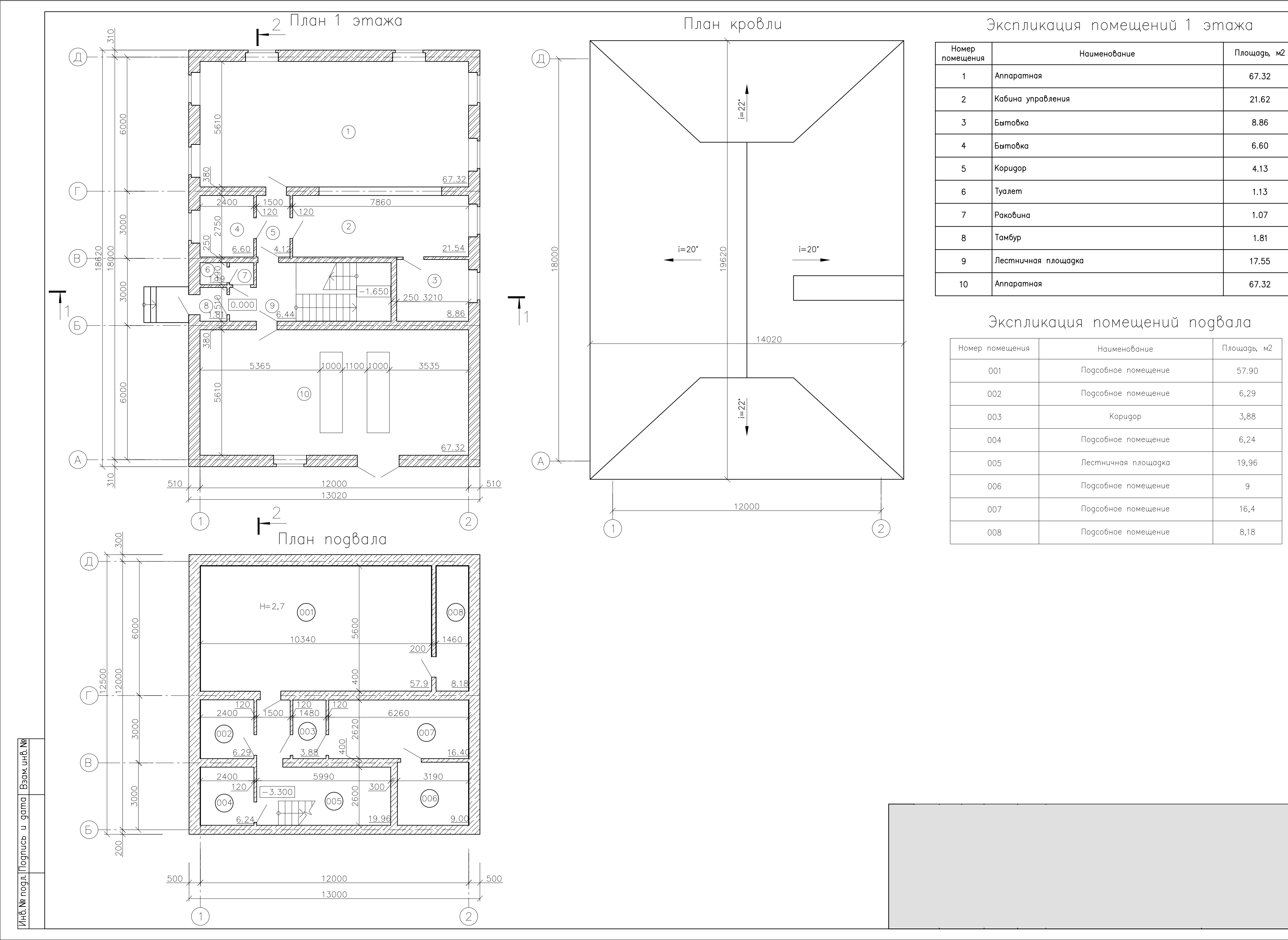
Стены: нанесение улучшенной окраски водно-дисперсионной акрилатной краски, шпаклевка гипсовая, стеклохолст, шткатуреки гипсовая, грунтовки воднодисперсионная, обои виниловые;

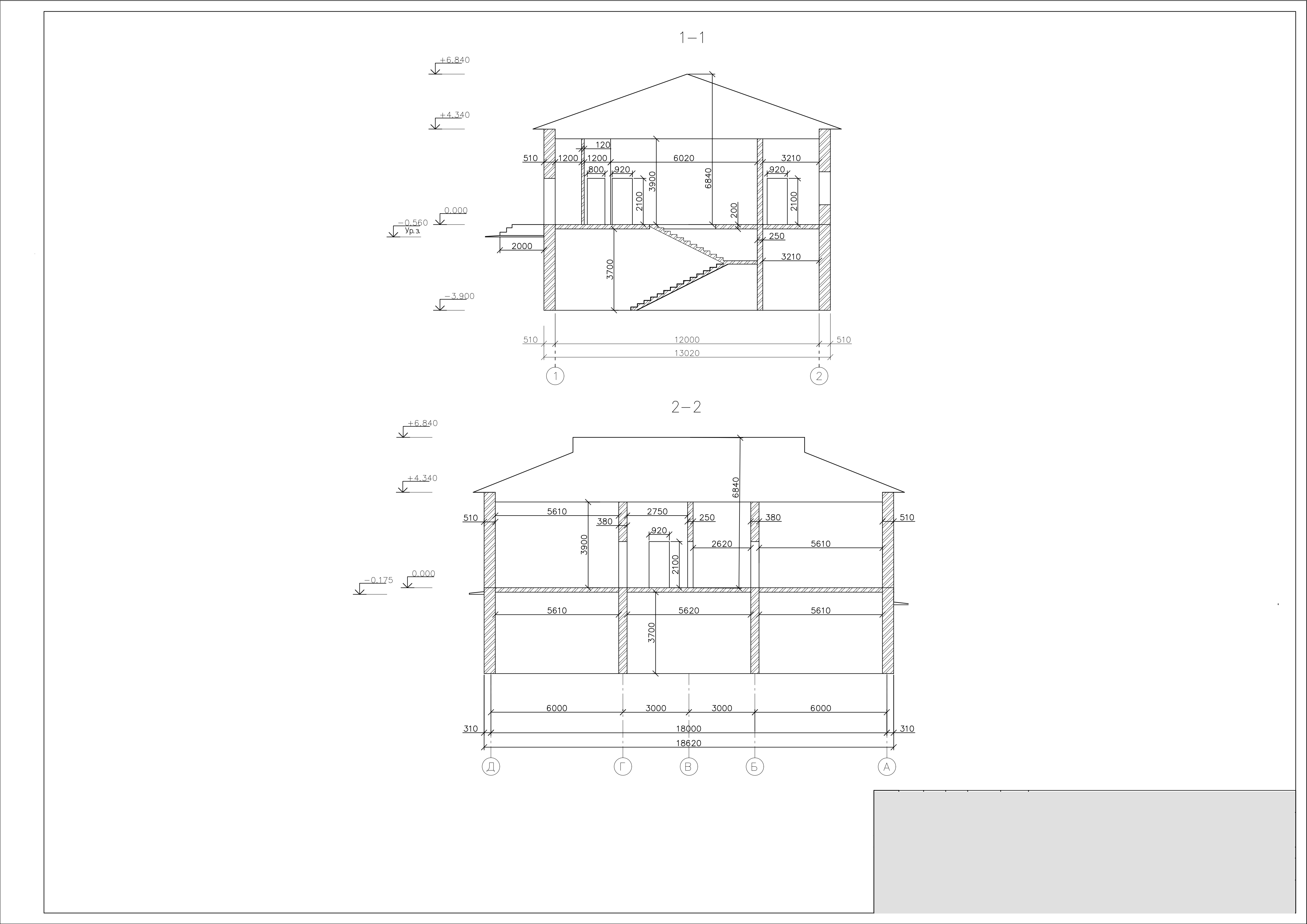
Перегородки: нанесение улучшенной окраски водно—дисперсионной акрилатной краски, шпаклевки гипсовая, стеклохолста, шткатуреки гипсовая, грунтовки воднодисперсионная, обои виниловые;

Потолки: устройство подвесных потолков "Армстронг"; побелка акриловой краской итерьерной Лакра + колер PARADE, грунтовка воднодисперсионная CERESIT СТ17, шпаклевка гипсовая Наbez—Старт.

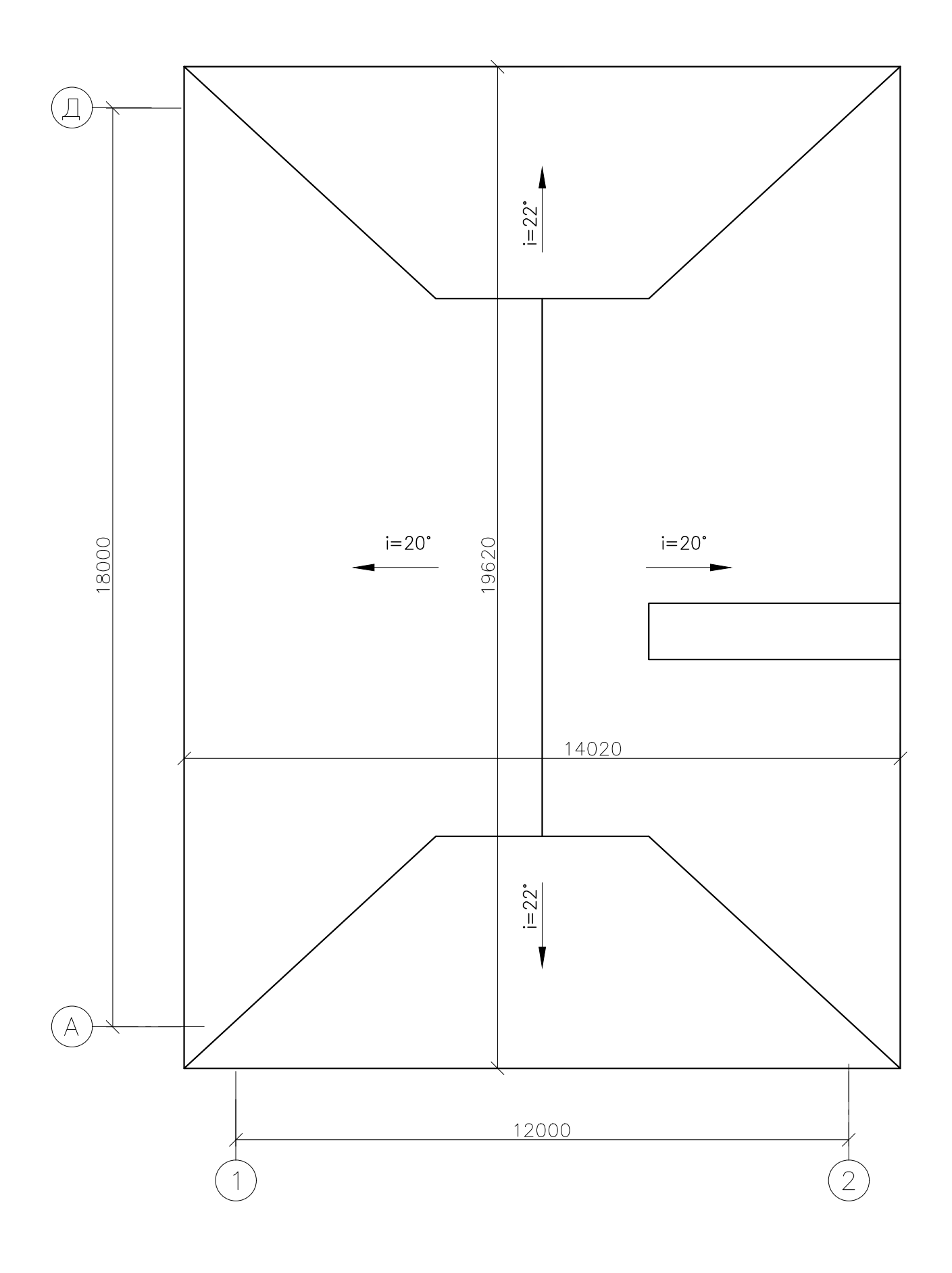
Полы: в помещениях цокольного этажа и части помещений первого этажа (пом. 01-07, 106,107,110) принято покрытие из керамической плитки. Остальные помещения первого этажа покрываются линолеумом (пом. 105,109).

3. При разработке архитектурных решений для технического здания руководствовались действующими нормативными документами, обеспечивающими безопасность, функциональность и соответствие требованиям градостроительного законодательства. Основными нормативными документами являются: Градостроительный кодекс Российской Федерации, Федеральный закон № 123-ФЗ «Технический регламент о требованиях пожарной безопасности», СП 4.13130.2013 «Системы противопожарной защиты. Ограничение распространения пожара на объектах защиты. Требования к объемно- планировочным и конструктивным решениям», СП 56.13330.2021 «Производственные здания. СНиП 31-03-2001», СП 44.13330.2011 «Административные и бытовые здания. СНиП 2.09.04-87», СанПиН 2.2.1/2.1.1.1200-03 «Санитарно-защитные зоны и санитарная классификация предприятий, сооружений и иных объектов», а также региональные и местные нормативы градостроительного проектирования. Выбор данных нормативных документов обусловлен необходимостью обеспечения пожарной безопасности, санитарно-гигиенических требований, эргономики, доступности для маломобильных групп населения и соответствия функциональному назначению технического здания. Соблюдение указанных норм и правил позволит создать безопасное, комфортное и эффективное рабочее пространство, соответствующее современным требованиям и стандартам.





# План кровли



# Ведомость демонтажных работ кровля

	<u> </u>	5	'		
Поз.	Обозначение	Наименование	Кол	Macca eg., кг	Примеч
1		Демонтаж существующего кровельного покрытия из шифера	350,78		M <sup>2</sup>

Инв. Ne nogл. Подпись и дата Взам. инв. Ne

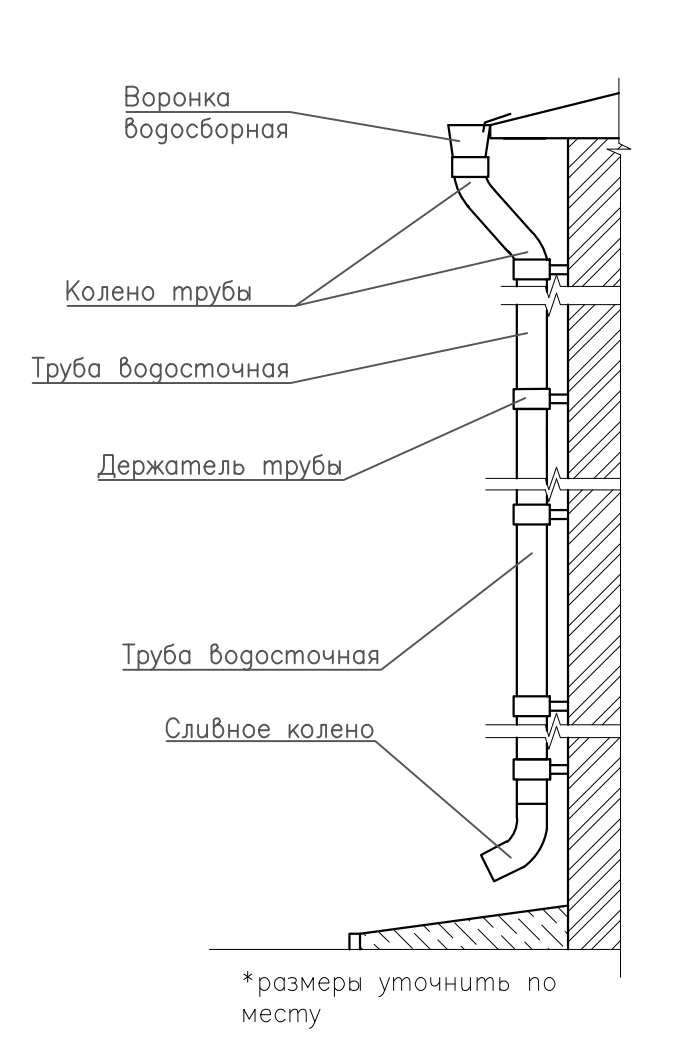
# Ведомость материалов кровли

2	ΓΟCT 58153-2018	Планка конька полукруглого 0,5 Satin с		
2		пленкой RAL 8017 шоколад, 2000 мм	25	Л
	ΓΟCT 58153-2018	Планка карнизная 100x65 0,5 Satin с пленкой RAL 8017 шоколад, 2000 мм	36	wm
3	-	Тройник Y конька полукруглого 0,5 Drap TX с пленкой RAL 8017 шоколад	2	wm
4	ГОСТ 58153-2018	Заглушка конусная 0,5 Satin RAL 8017 шоколад	4	wm
5	ГОСТ 4028-63	Саморез 4,8x35 Grand Line Pro с керамическим покрытием, уп 250 шт	10	yn.
6	РОСС RU.32001.04ИБФ1.0СП28.4 5832	Герметик Grand Line Professional гибридный MS прозрачный 300мл	1	wm
7	ГОСТ 30244 ГОСТ 30402 ГОСТ 30444	Материал гидроизоляционный GRAND LINE D98, 75 м2	5	wm
8	POCC RU.HE06.H16602	Лента односторонняя универсальная высокопрочная Grand Line ULTRA BAND 50мм х 25м	8	шm
9	_	Аэроэлемент конька GRAND LINE, черный, 240мм (5м)	8	шm
10	ΓΟCT 58153-2018	Memaллочереица Классик ("Classic") v01 0,5 Satin RAL 8017 шоколад, 4300 мм	34	шm
11	ГОСТ 58153-2018	Металлочереица Классик ("Classic") v01 0,5 Satin RAL 8017 шоколад, 3850 мм	2	wm
12	ГОСТ 58153-2018	Металлочереица Классик ("Classic") v01 0,5 Satin RAL 8017 шоколад, 3640 мм	2	wm
13	ГОСТ 58153—2018	Металлочереица Классик ("Classic") v01 0,5 Satin RAL 8017 шоколад, 3600 мм	20	wm
14	ΓΟCT 58153-2018	Металлочереица Классик ("Classic") v01 0,5 Satin RAL 8017 шоколад, 3300 мм	2	шm
15	ΓΟCT 58153-2018	Металлочереица Классик ("Classic") v01 0,5 Satin RAL 8017 шоколад, 3250 мм	2	wm
16	ΓΟCT 58153-2018	Металлочереица Классик ("Classic") v01 0,5 Satin RAL 8017 шоколад, 3080 мм	2	wm
17	ΓΟCT 58153-2018	Металлочереица Классик ("Classic") v01 0,5 Satin RAL 8017 шоколад, 3070 мм	2	wm
18	ΓΟCT 58153-2018	Металлочереица Классик ("Classic") v01 0,5 Satin RAL 8017 шоколад, 2820 мм	2	wm
19	ΓΟCT 58153-2018	Металлочереица Классик ("Classic") v01 0,5 Satin RAL 8017 шоколад, 2620 мм	2	wm
20	ΓΟCT 58153-2018	Металлочереица Классик ("Classic") v01 0,5 Satin RAL 8017 шоколад, 2310 мм	2	wm
21	ΓΟCT 58153-2018	Металлочереица Классик ("Classic") v01 0,5 Satin RAL 8017 шоколад, 2050 мм	2	wm
22	ΓΟCT 58153-2018	Металлочереица Классик ("Classic") v01 0,5 Satin RAL 8017 шоколад, 1850 мм	2	wm
23	ΓΟCT 58153-2018	Металлочереица Классик ("Classic") v01 0,5 Satin RAL 8017 шоколад, 1540 мм	2	wm
24	ΓΟCT 58153-2018	Металлочереица Классик ("Classic") v01 0,5 Satin RAL 8017 шоколад, 1380 мм	2	wm
25	ΓΟCT 58153-2018	Металлочереица Классик ("Classic") v01 0,5 Satin RAL 8017 шоколад, 1280 мм	2	wm
26	ΓΟCT 58153-2018	Металлочереица Классик ("Classic") v01 0,5 Satin RAL 8017 шоколад, 1250 мм	2	wm
27	ΓΟCT 58153-2018	Memaллочереица Классик ("Classic") v01 0,5 Satin RAL 8017 шоколад, 810 мм	2	wm
28	ΓΟCT 58153-2018	Memaллочереица Классик ("Classic") v01 0,5 Satin RAL 8017 шоколад, 800 мм	2	wm
29	ΓΟCT 58153-2018	Металлочереица Классик ("Classic") v01 0,5 Satin RAL 8017 шоколад, 700 мм	2	wm
30	ΓΟCT 58153-2018	Memaллочереица Классик ("Classic") v01 0,5 Satin RAL 8017 шоколад, 520 мм	2	шm
31	ΓΟCT 58153-2018	Металлочереица Классик ("Classic") v01 0,5 Satin RAL 8017 шоколад, 500 мм	4	wm

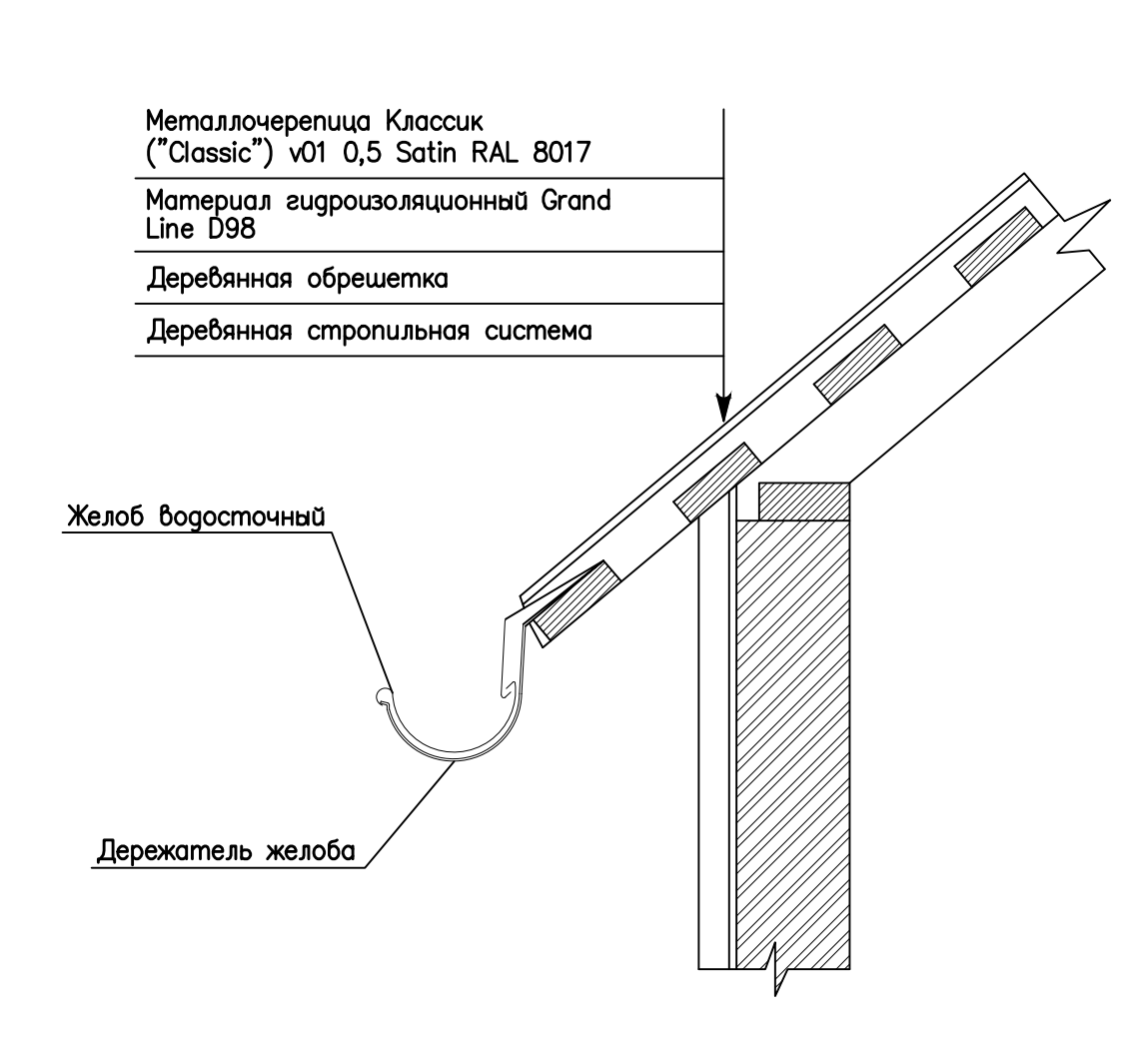


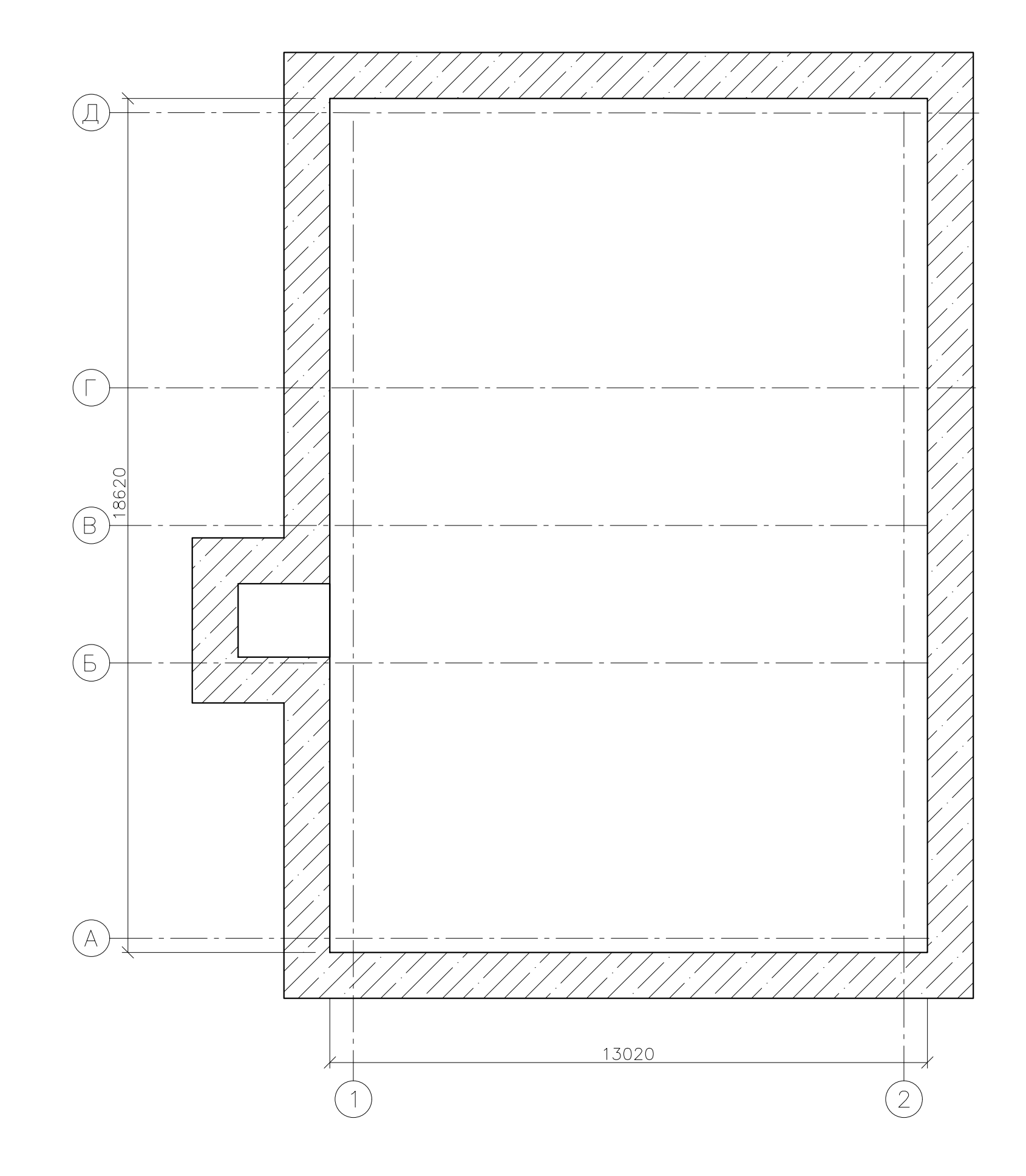
Поз.	Наименование		Масса ед, кг	Примеч.
1	Воронка желоба Grand Line 125/90 Gr-double, RAL 7024	8		шm
2	Желоб водосточный Grand Line 125/90, 3000 мм Gr-double, RAL 7024	22		um
3	3 Заглушка желоба Grand Line 125/90 RAL 7024			wm
4	Колено mpyбы Grand Line 125/90, 60° RAL 7024	6		wm
5	Крюк короткий Grand Line 125/90, Gr-double, RAL 7024	105		wm
6	6 Coeguнumeль желоба Grand Line 125/90, RAL 7024			wm
7	Труба водосточная соединительная Grand Line 125/90, 1000 мм, Gr-double, RAL 7024	24		wm

Инв. № подл. Подпись и дата Взам. инв. №









#### Спецификация материалов отмостки

Поз.	Обозначение	Наименование	Кол.	Macca eg., кг	Примеч.
1	ГОСТ 8736-2014	Песчаная подготовка	7,13		м³
2	ГОСТ 8262.0-97	Щебеночная подготовка	8,56		м³
3	FOCT 25192-2012	Бетон кл. B-15, M200, П2, F75	6,77		м³
4	ГОСТ 23279—2012	Сетка сварная из арматурной проволоки Ø4 ячейка 100х100мм	71,28	2,2	M <sup>2</sup>
5	ГОСТ 2889-80	Битумная мастика МБКГ-85 (ГОСТ 2889- 80) (по вертикальной поверхности)	22,73 2,06		стены м² швы м²
6	FOCT 8486-86	Бортовой камень БР 100.20.8	75,28		м. п.
7	ГОСТ 31357-2007	Железнение отмостки цементной смесью	71,28		M <sup>2</sup>

# Битумная кробельная холодная мастика ГОСТ 2889—80 Бетон кл.В15, армиробанный по уклону—80мм (Сетка сбарная из проболоки #4 яч. 100x100мм) Шебень марки 600 фр. 10—20 мм по ГОСТ 8262.0—97—0,12 м Песок мелкий ГОСТ 8736—2014—0,10 м Уплотненный грунт Бортовой камень БР 100.20.8 0,000

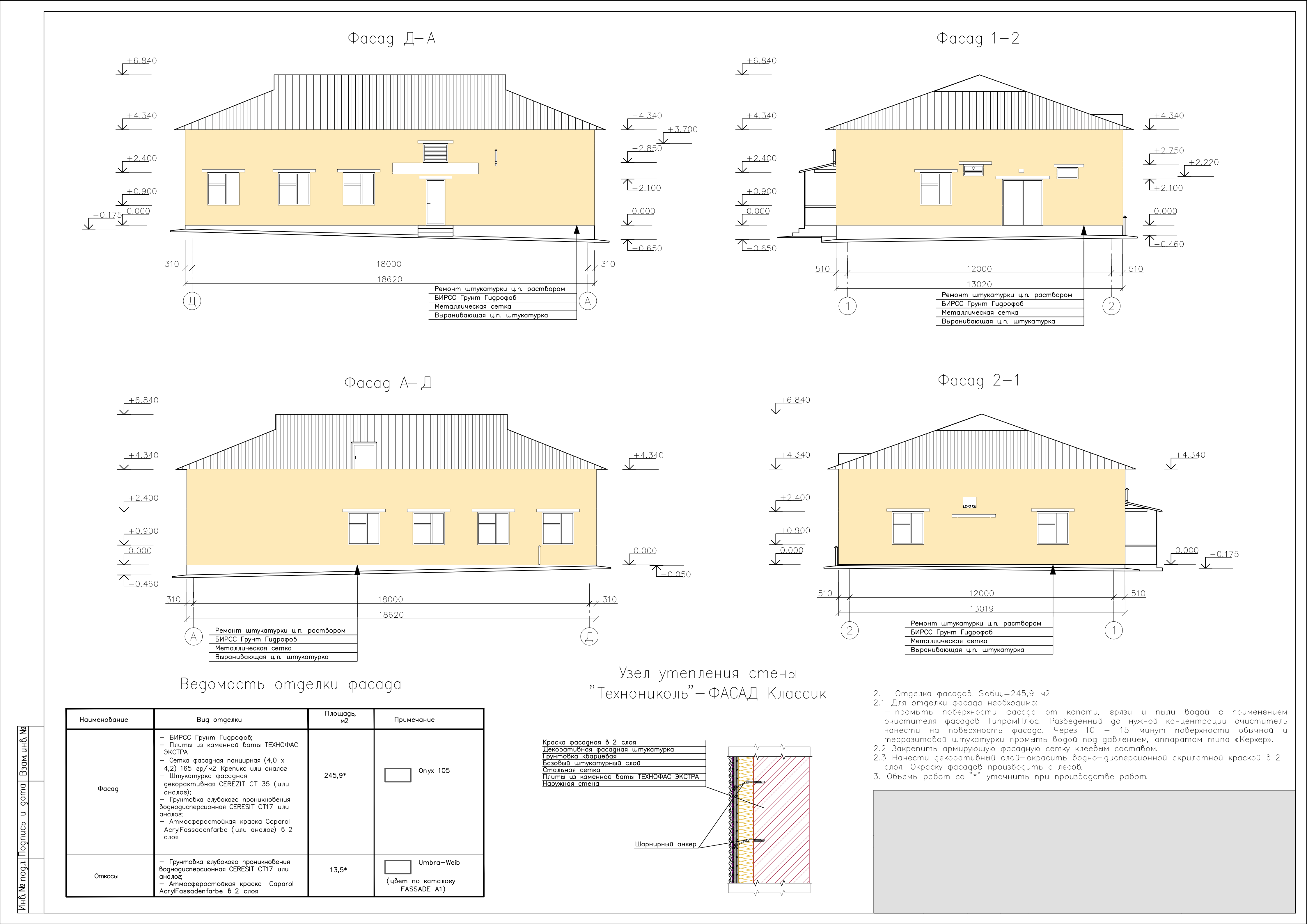
Через 2 часа после заливки отмостки, на неё равномерно нанести тонкий слой сухого цемента (2 мм). Использовать сито. Засыпать в сито цемент и потрясти над отмосткой. Сухую смесь разравнять ручной теркой или гладилкой из нержавейки.

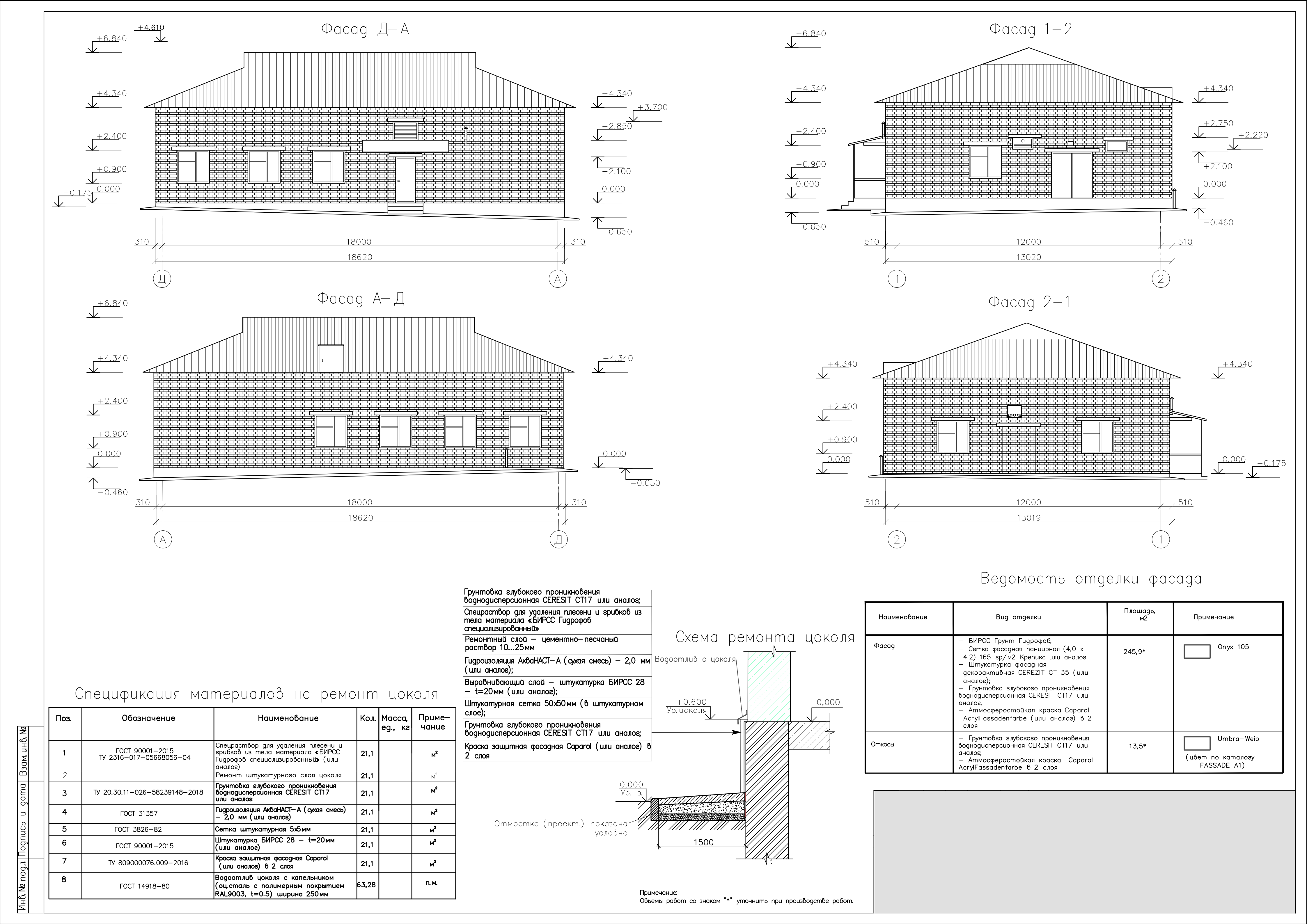
\* Размеры уточнить по месту производства работ

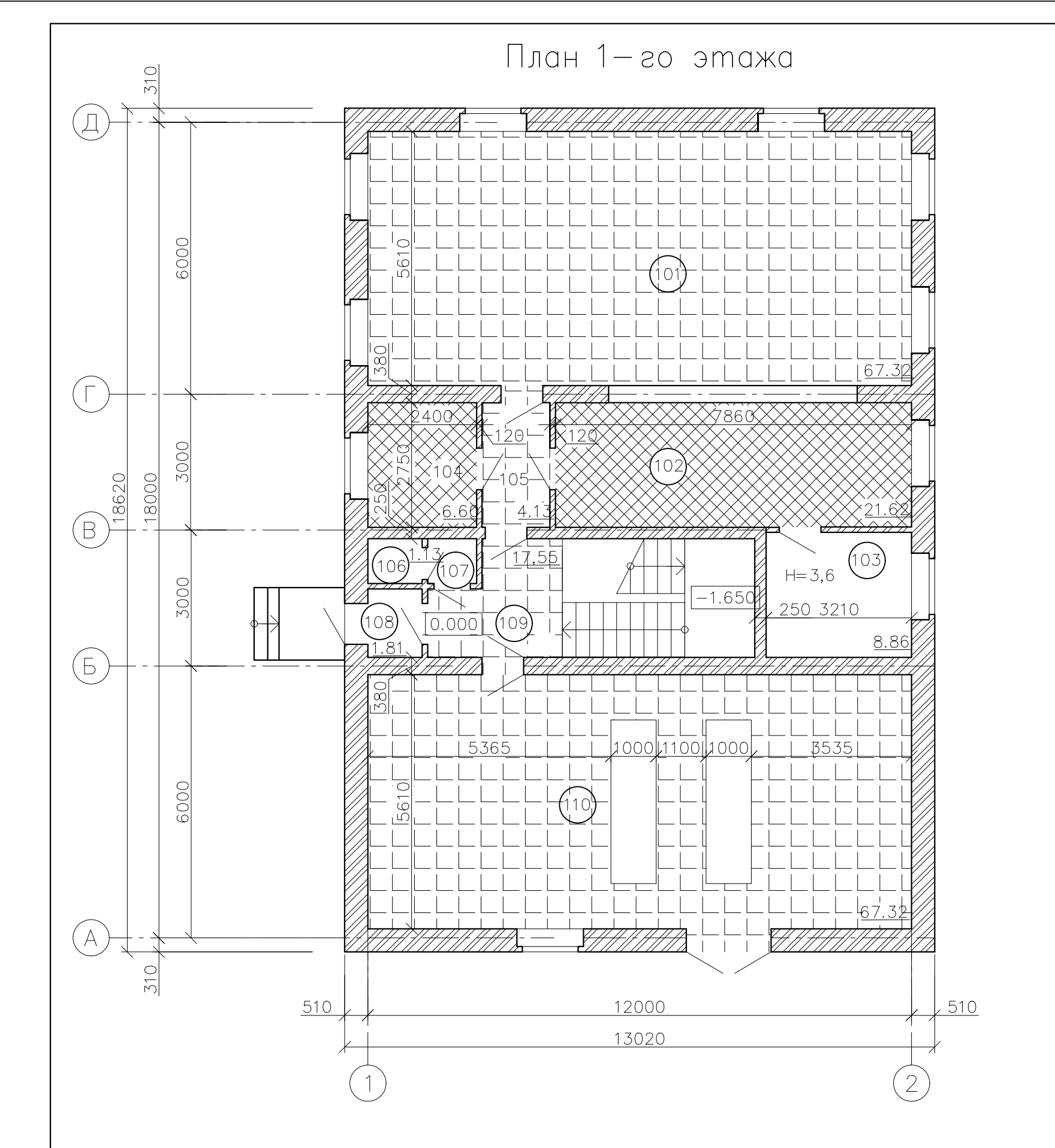
## Ведомость демонтажных работ по отмостке

Поз.	Наименование	Ед. изм.	Кол.	Примеч.
1	Демонтаж сущ. бетонного покрытия отмостки h=0,08	M <sup>2</sup>	71,28*	
2	Объем выемки грунта под отмостку	M <sup>3</sup>	0,05*	
3	Объем выемки щебеночного основания	M <sup>3</sup>	10,69*	
4	Объем выемки песчанного основания	M <sup>3</sup>	7,13*	

Примечание: Объемы работ со "\*" уточнить при производстве работ.







# Экспликация помещений 1—го этажа

Номер помещения	Наименование	Площадь, м2
101	Аппаратная	67.32
102	Кабина управления	21.62
103	Бытовка	8.86
104	Бытовка	6.60
105	Kopugop	4.13
106	Туалет	1.13
107	Санузел	1.07
108	Тамбур	1.81
109	Лестничная площадка	17.55
110	Аппаратная	67.32

#### Условные обозначения:

mun nomолка — omgелка краской

mun nomoлка — отделка потолочными панелями

# Ведомость демонтажных работ потолка

Поз.	Обозначение	Наименование	Кол	Macca eg., кг	Примеч
1		Демонтаж существующей отделки окраской	158,58*		M <sup>2</sup>
2		Демонтаж существующей отделки потолочными плитами	28,22*		M <sup>2</sup>

Инв. № подл. Подпись и дата Взам. инв. №

# Ведомость отделки помещений

	В	ug omgелкі	и элементов интер	ьера	
Наименование или	Потолок		Стены и перего	Примечание	
номер помещений	Bug отделки	Площ м²	Bug отделки	Площ м²	
101, 105, 109–110	- Краска акриловая интерьерная Лакра + колер PARADE (или аналог) - грунтовка "CERESIT" СТ17 (или аналог)	156.38*			
106, 107	- Краска акриловая интерьерная Лакра + колер PARADE (или аналог) - грунтовка "CERESIT" СТ17 (или аналог) - Средство антиплесень Лакра	2.20*			
102, 104	— подвесной потолок типа "Армстронг"	28.22	-	_	

римечание:

Объемы работ со знаком "\*" уточнить при производстве работ.

# План 1-го этажа H=3,6-1.650 (<u>Б</u>) 3535 12000 510 13020

Ведомость демонтажных работ стен

Демонтаж существующей

Наименование

Поз.

Инв. № подл. Подпись и дата Взам. инв. №

Обозначение

Macca eg., кг

602,33\*

Примеч

# Экспликация помещений 1-го этажа

Номер помещения	Наименование	Площадь, м2
101	Аппаратная	67.32
102	Кабина управления	21.62
103	Бытовка	8.86
104	Бытовка	6.60
105	Kopugop	4.13
106	Туалет	1.13
107	Санузел	1.07
108	Тамбур	1.81
109	Лестничная площадка	17.55
110	Аппаратная	67.32

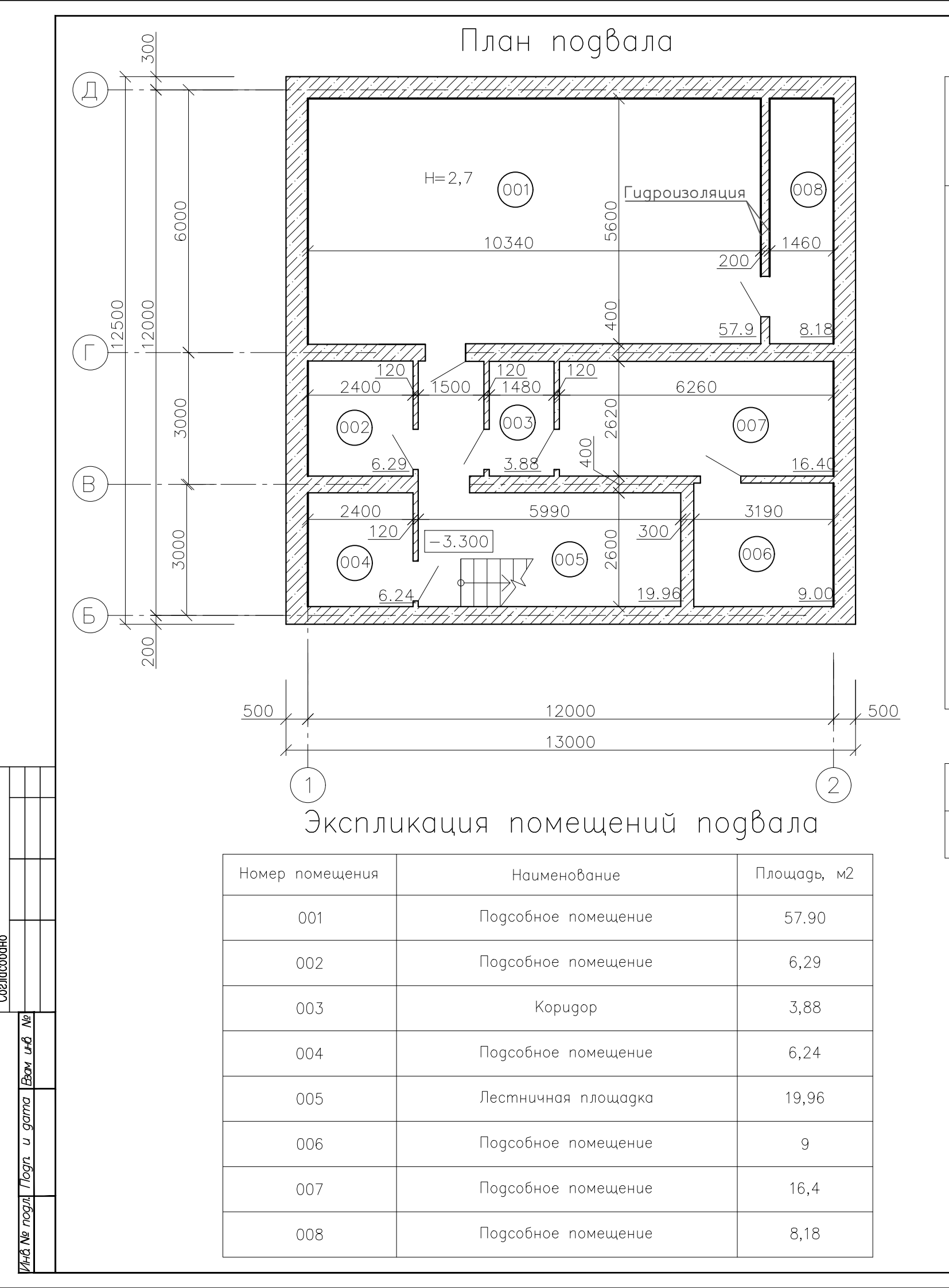
Номер помещения	Наименование	Площадь, м2
101	Аппаратная	67.32
102	Кабина управления	21.62
103	Бытовка	8.86
104	Бытовка	6.60
105	Kopugop	4.13
106	Туалет	1.13
107	Санузел	1.07
108	Тамбур	1.81
109	Лестничная площадка	17.55
110	Аппаратная	67.32

# Ведомость отделки помещений

Bug отделки элементов интерьера						
Наименование или номер помещений	Потолок		Стены и перегоро	одки	Примечание	
помер помещении	Bug отделки	Площ м²	Bug отделки	Площ м²		
101, 102, 105, 108–110	_	M -	- Краска акриловая интерьерная Лакра + колер PARADE - грунтовка "CERESIT" СТ17 (или аналог) - шпатлевка КNAUF Унифлот (или аналог) - стеклохолст - шпатлевка KNAUF Унифлот (или аналог) - грунтовка "CERESIT" СТ17 (или аналог)	554,0*	Стены	
103, 104	_	_	- обои виниловые на флизилине - грунтовка "CERESIT" СТ17 (или аналог) - шпатлевка КNAUF Унифлот (или аналог) - грунтовка "CERESIT" СТ17 (или аналог)	71,87*	Стены	
106, 107	_	_	- керамическая плитка гладкая одноцветная с красителем квадратная (30х30) на плиточном клее "CERESIT" СМ17 — 13 мм (или аналог) . \$\frac{1}{3}\$ высоты — Краска акриловая интерьерная Лакра + колер PARADE (или аналог) \$\frac{2}{3}\$ высоты — грунтовка "CERESIT" СТ17 (или аналог) — Средство антиплесень Лакра	26,27*	Стены	
101-110	_	_	- Краска акриловая интерьерная Лакра + колер PARADE - грунтовка "CERESIT" СТ17 (или аналог) - шпатлевка КNAUF Унифлот (или аналог) - стеклохолст - шпатлевка KNAUF Унифлот (или аналог) - грунтовка "CERESIT" СТ17 (или аналог)	48,33*	Откосы окон и дверей	

I	Демонтаж существующей omgeлки плиткой	26,27*	M <sup>2</sup>
I	Демонтаж существующей отделки обоями	71,87*	M <sup>2</sup>

Примечание: Объемы работ со знаком "\*" уточнить при производстве работ.



# Ведомость отделки помещений

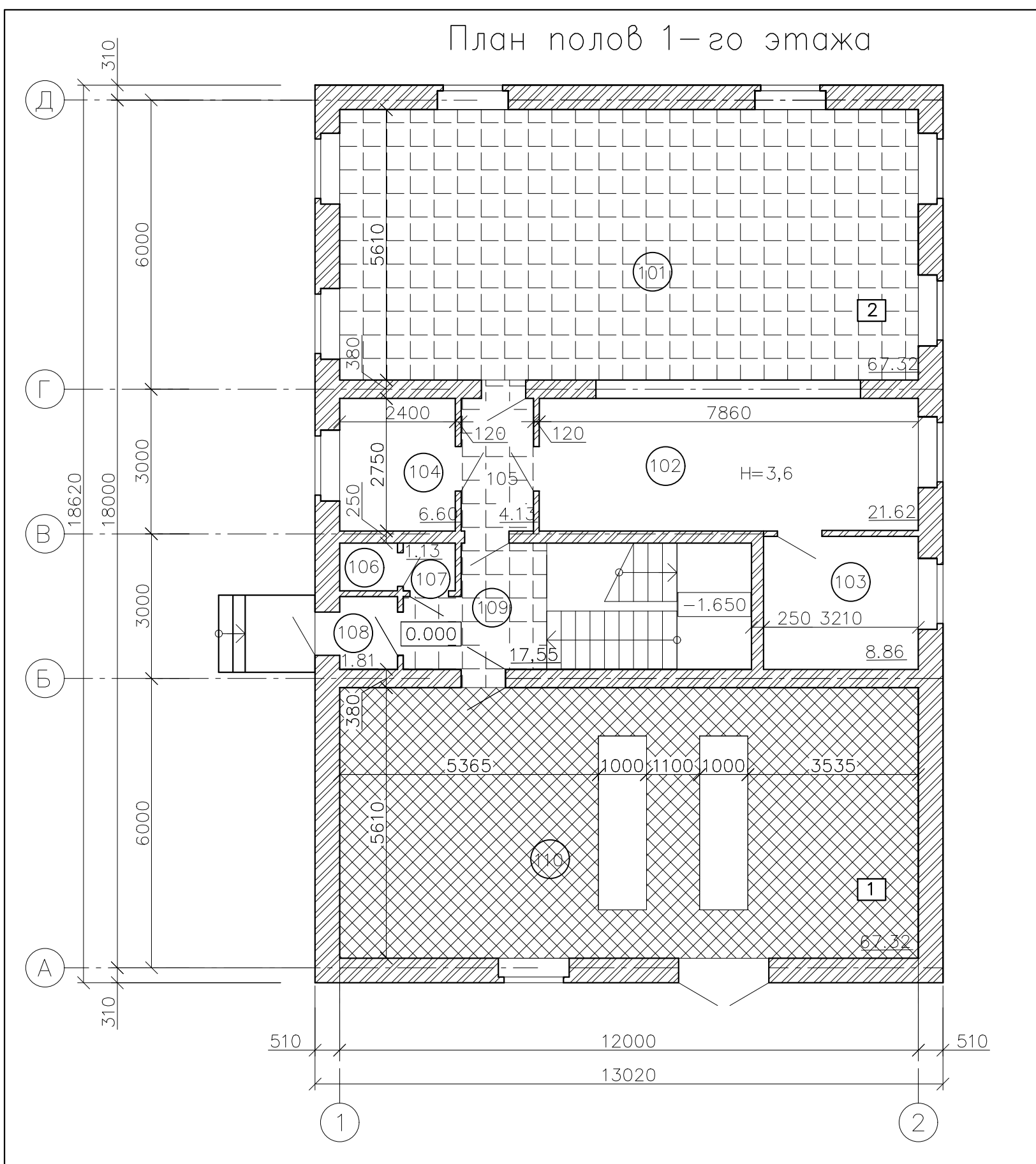
		Bug omo	јелки элементов инте	рьера	
Наименование или	Потолок		Стены и перего	родки	Примечание
номер помещений	Bug отделки	Площ м²	Bug отделки	Площ м²	
001-008	_		- краска акриловая интерьерная Лакра + колер PARADE - грунтовка "CERESIT" СТ17 (или аналог) - средство антиплесень Лакра (или аналог) - шпатлевка КNAUF Унифлот (или аналог) - стеклохолст - шпатлевка КNAUF Унифлот (или аналог) - грунтовка "CERESIT" СТ17 (или аналог) - Штукатурка гипсовая Навег - Старт (или аналог) - грунтовка "CERESIT" СТ17 (или аналог) - грунтовка "CERESIT" СТ17 (или аналог)	319,77*	Стены Откосы дверей 4,12 м2

# Ведомость демонтажных работ стен

Поз.	Обозначение	Наименование	Кол	Macca eg., кг	Примеч
1		Демонтаж существующей отделки окраской	319,77*		M <sup>2</sup>

Примечание

Объемы работ со знаком "\*" уточнить при производстве работ.



# Экспликация помещений 1-го этажа

Номер помещения	Наименование	Площадь, м2
101	Аппаратная	67.32
102	Кабина управления	21.62
103	Бытовка	8.86
104	Бытовка	6.60
105	Kopugop	4.13
106	Туалет	1.13
107	Санузел	1.07
108	Тамбур	1.81
109	Лестничная площадка	17.55
110	Аппаратная	67.32

#### Условные обозначения:

- 1 mun пола керамическая плитка для полов
- 2 mun пола линолеум коммерческий гетерогенный

# Ведомость демонтажных работ пола

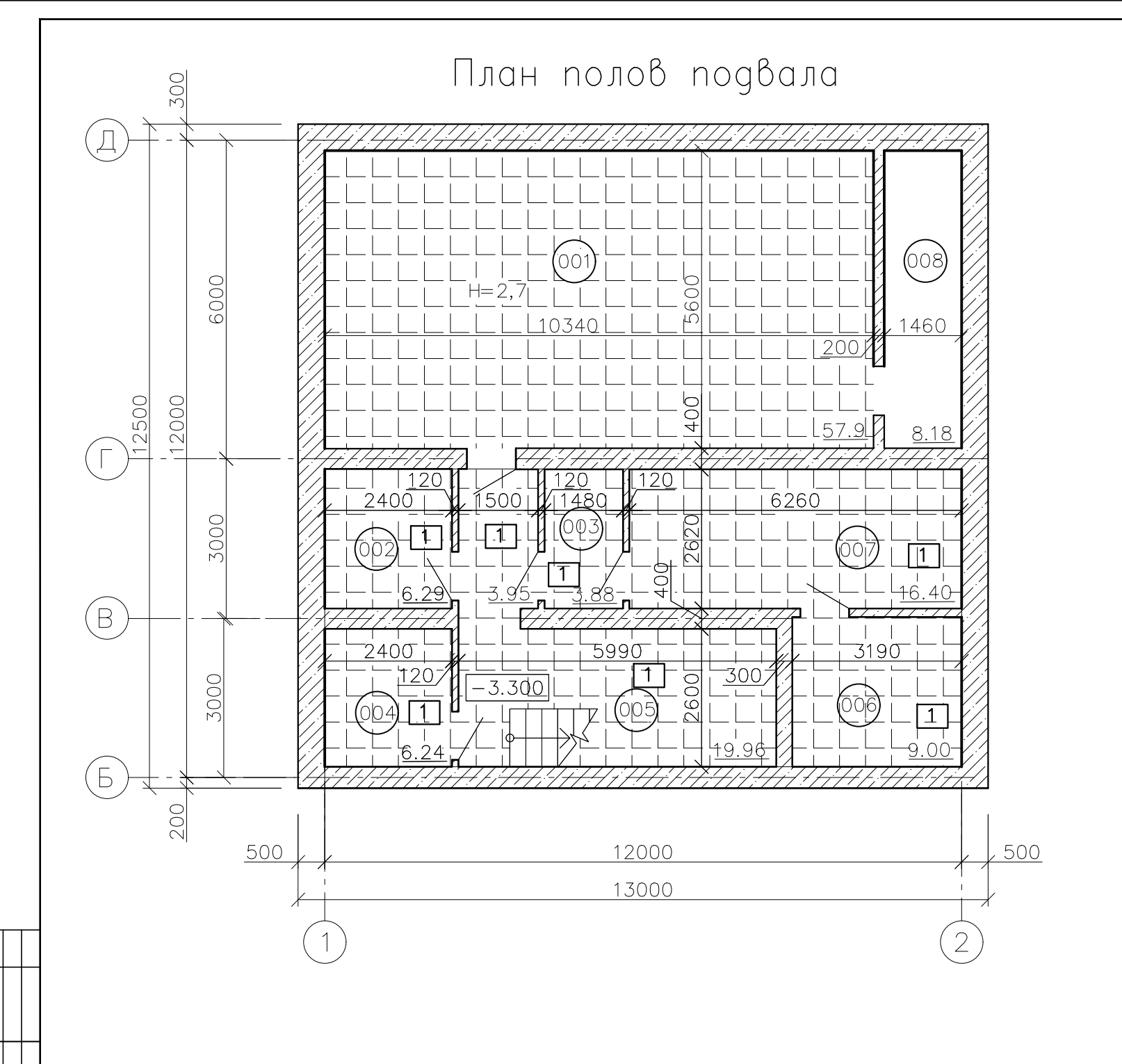
Поз.	Обозначение	Наименование	Кол	Macca eg., кг	Примеч
1		Демонтаж существующей плитки	69,58*		M <sup>2</sup>
2		Демонтаж существующего покрытия линомеумом	21,68*		M <sup>2</sup>

Инв. № подл. Подпись и дата Взам. инв. №

# Экспликация полов

Наимен. или ном. помещения	Tun noлa	Схема или номер узла по серии	Элементы пола и их толщина	Площадь пола, м <sup>2</sup>
106,107,110	1		- Покрытие — керамическая плитка для полов гладкая одноцветная (керамогранит) с красителем квадратная (30х30) на плиточном клее "CERESIT" СМ17 — 13 мм (или аналог) — Наливной пол "GLIMS" (или аналог), t = 5—10 мм — Грунтовка глубокого проникновения "CERESIT" СТ17 (или аналог) — Существующее основание ————————————————————————————————————	69,58*
105, 109	2		- Покрытие — линолеум коммерческий гетерогенный "TARKETT ACCZENT MINERAL — 1000 07" (толщина 2 мм, класс 34) (или аналог) Существующее основание	21,68*
			алюминиевых сплавов (порожки) с покрытием, ширина 25 мм, пог.м.	14*

Примечание: Объемы работ со знаком "\*" уточнить при производстве работ.



# Экспликация помещений подвала

Номер помещения	Наименование	Площадь, м2
001	Подсобное помещение	57.90
002	Подсобное помещение	6,29
003	Kopugop	3,88
004	Подсобное помещение	6,24
005	Лестничная площадка	19,96
006	Подсобное помещение	9
007	Подсобное помещение	16,4
008	Подсобное помещение	8,18

#### Условные обозначения:

тип пола— износостойкая краска для бетонных полов

# Экспликация полов

Наимен. или ном. помещения	Tun noлa	Схема или номер узла по серии	Элементы пола и их толщина	Площадь пола, м²
001-007	1	1	<ul> <li>Износостойкая краска для бетонных полов Ленинградка АК 114</li> <li>Наливной пол "GLIMS" (или аналог), t = 5-10 мм.</li> <li>Существующее основание</li> </ul>	119,67*

# Ведомость демонтажных работ пола

Поз.	Обозначение	Наименование	Кол	Macca eg., кг	Примеч
1		Демонтаж существующей отделки краской	119,67*		M <sup>2</sup>

#### Примечание:

Объемы работ со знаком "\*" уточнить при производстве работ.

# План 1-го этажа H=3,612000 13020

800

Инв. № подл. Подпись и дата Взам. инв. №

900

900

# Спецификация элементов заполнения проемов внутренних стен и перегородок 1 этажа

Поз.	Обозначение	Наименование	Кол.	Macca eg., кг	Примеч
1	Дверь филенчатая	Дверной блок одностворчатый деревянный 2100х900 лев.	3		
2	Дверь филенчатая	Дверной блок одностворчатый деревянный 2100х900 прав.	3		
3	Дверь филенчатая	Дверной блок одностворчатый деревянный 2100х800 лев.	1		
4	Дверь филенчатая	Дверной блок одностворчатый деревянный 2100х700 лев.	1		
5	Дверь металлическая входная	Дверной блок одностворчатый металлический утепленный 2100х900, прав.	1		
6	Дверь металлическая входная	Дверной блок двустворчатый металлический утепленный 2100х1900	1		
7	ГОСТ Р 57327—2016	Дверь противопожарная ДПМ 01/60 2100х900 прав.	1		
8	ГОСТ Р 57327-2016	Дверь противопожарная ДПМ 01/60 2100х900 прав.	1		

900

# Экспликация помещений 1-го этажа

Номер помещения	Наименование	Площадь, м2
101	Аппаратная	67.32
102	Кабина управления	21.62
103	Бытовка	8.86
104	Бытовка	6.60
105	Kopugop	4.13
106	Туалет	1.13
107	Санузел	1.07
108	Тамбур	1.81
109	Лестничная площадка	17.55
110	Аппаратная	67.32

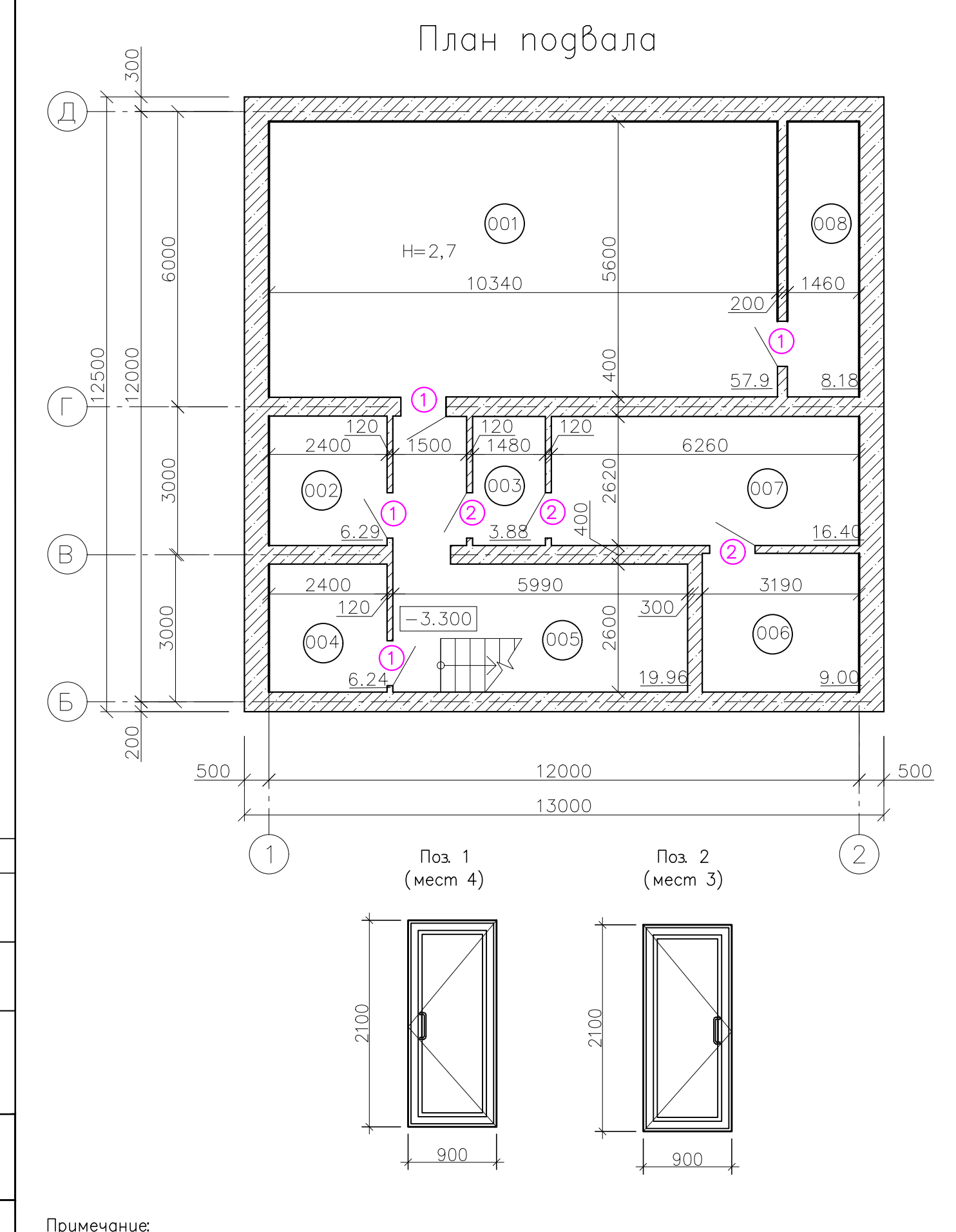
# Ведомость демонтажных работ дверей

Поз.	Обозначение	Наименование	Кол	Масса ед., кг	Примеч
1		Демонтаж существующих дверей	12		wm

#### 

900

700



- Размеры дверных блоков даны по размеру проемов. Монтажные узлы и герметизацию мест примыкания осуществляет фирма-изготовитель.
- Все блоки должны быть окрашены в заводских условиях, укомплектованы нащельниками, фурнитурой, дверной коробкой, наличниками, доборами и доводчиками по номенклатуре
- Перед изготовлением все габаритные установочные размеры блоков уточнить натурными обмерами на объекте.

# Экспликация помещений подвала

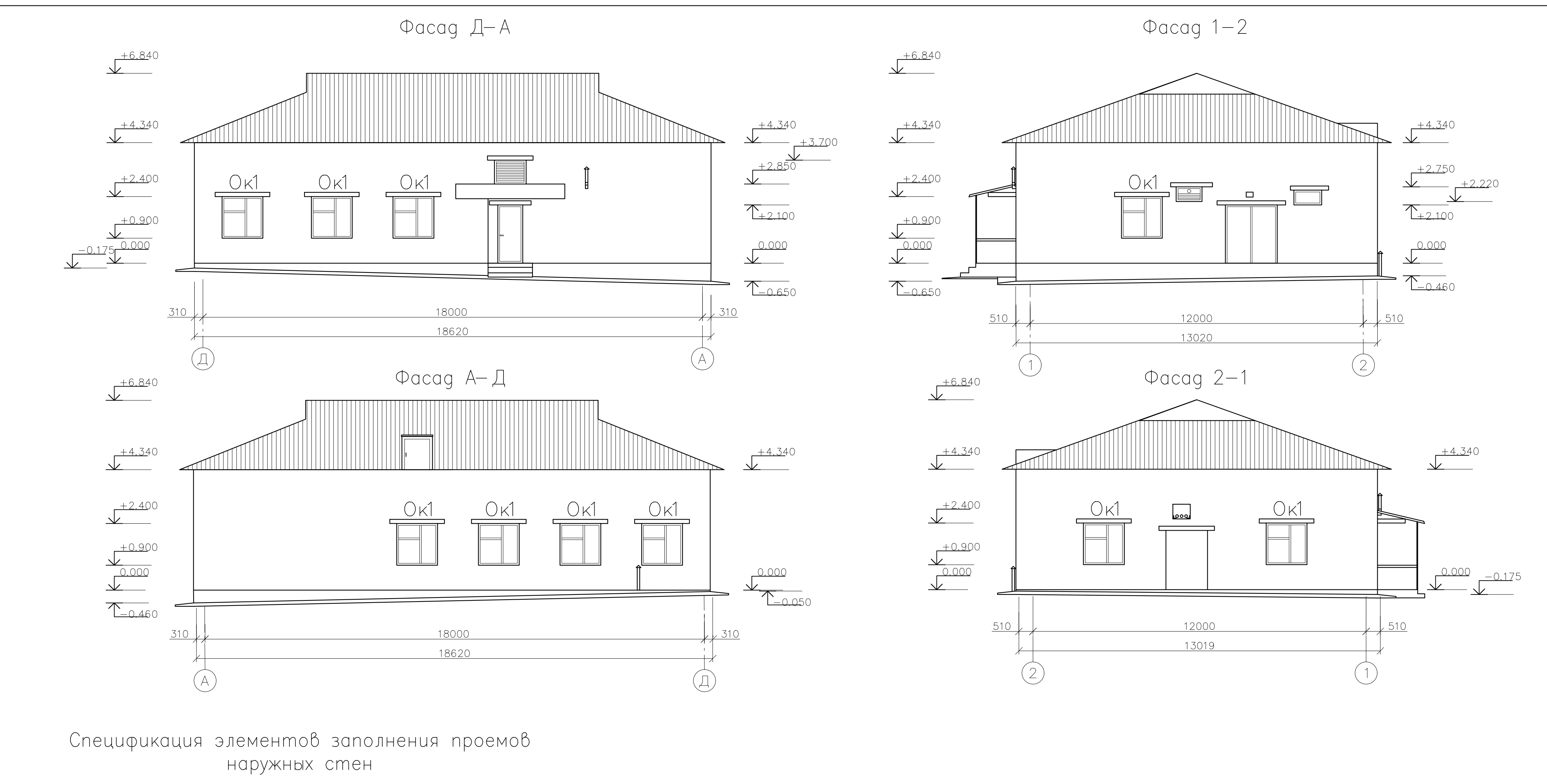
Номер помещения	Наименование	Площадь, м2
001	Подсобное помещение	57.90
002	Подсобное помещение	6,29
003	Kopugop	3,88
004	Подсобное помещение	6,24
005	Лестничная площадка	19,96
006	Подсобное помещение	9
007	Подсобное помещение	16,4
008	Подсобное помещение	8,18

# Спецификация элементов заполнения проемов внутренних стен и перегородок подвала

Поз.	Обозначение	Наименование	Кол.	Macca eg., кг	Примеч
1	Дверь филенчатая	Дверной блок одностворчатый деревянный 2100х900 прав.	4		
2	Дверь филенчатая	Дверной блок одностворчатый деревянный 2100х900 лев.	3		

# Ведомость демонтажных работ дверей

Поз.	Обозначение	Наименование	Кол	Macca eg., кг	Примеч
1		Демонтаж существующих дверей	7		wm



Поз.	Обозначение	Наименование	Кол.	Масса ед., кг	Примеч
Oĸ1	ГОСТ 30674—99 Индивидуального изготовления с двухкамерным стеклопакетом 4 M1—8—4 M1—8—4 M1	ОП В2 2050—1690	10		

# Ведомость демонтажных работ окон

Поз.	Обозначение	Наименование	Кол	Macca eg., кг	Примеч
1		Демонтаж существующих окон	10		wm



- 1. Размеры оконных блоков требуют уточнения по факту: перед изготовлением фирме—изготовителю в обязательном порядке произвести замеры проемов.
- 2. Чертежи элементов заполнения оконных и дверных проемов выполнены в виде принципиальных разбивочных схем и подлежат последующей конструктивной разработке фирмой—изготовителем.
- 3. Оснащение оконных блоков петлями, приборами открывания и пр., а также монтаж выполнять в соответствии с технологией привлеченных специализированных организаций. Монтажные узлы и герметизацию мест примыкания осуществляет фирма—изготовитель согласно ГОСТ30971—2002.
- 4. Все окна остеклить двухкамерным стеклопакетом 4M1-8-4M1-8-M1.
- 5. Все оконные блоки должны быть сертифицированны в соответствии с Российскими стандартами.

	(мест 10)
1470	
2	750 750